Boletim Técnico da Escola Politécnica da USP Departamento de Engenharia de Energia e Automação Elétricas

ISSN 1413-2214 BT/PEA/0410

Algoritmo Baseado em Redes Neurais Artificiais para a Proteção de Distância de Linhas de Transmissão

Ricardo Caneloi dos Santos Eduardo Cesar Senger

São Paulo - 2004

1402343

O presente trabalho é um resumo da tese de doutorado apresentada por Ricardo Caneloi dos Santos, sob orientação do Prof. Dr. Eduardo Cesar Senger: "Algoritmo Baseado em Redes Neurais Artificiais para a Proteção de Distância de Linhas de Transmissão", defendida em 19/02/2004, na EPUSP.

A íntegra da tese encontra-se à disposição com o autor e na biblioteca de Engenharia de Eletricidade da Escola Politécnica da USP.

FICHA CATALOGRÁFICA

Santos, Ricardo Caneloi dos

Algoritmo baseado em redes neurais artificiais para a proteção de distância de linhas de transmissão / Ricardo Caneloi dos Santos, Eduardo Cesar Senger. -- São Paulo : EPUSP, 2004.

20 p. – (Boletim Técnico da Escola Politécnica da USP, Departamento de Engenharia de Energia e Automação Elétricas; BT/PEA/0410)

 Proteção de sistemas elétricos 2. Redes neurais 3. Relés
 Senger, Eduardo Cesar II. Universidade de São Paulo. Escola Politécnica. Departamento de Engenharia de Energia e Automação Elétricas III. Título IV. Série
 ISSN 1413-2214
 CDD 621.317

DD 621.317 006.3 621.317

ALGORITMO BASEADO EM REDES NEURAIS ARTIFICIAIS PARA A PROTEÇÃO DE DISTÂNCIA DE LINHAS DE TRANSMISSÃO

Ricardo Caneloi dos Santos Eduardo Cesar Senger

Escola Politécnica da Universidade de São Paulo Departamento de Engenharia de Energia e Automação Elétricas Av. Prof. Luciano Gualberto, trav.3, nº 158 – São Paulo – SP – CEP: 05508-900 E-mail: ricardo.santos@poli.usp.br

Resumo

Este artigo apresenta um algoritmo baseado em Redes Neurais Artificiais (RNA) para efetuar a proteção de distância de linhas de transmissão. Diferentemente dos demais algoritmos baseados nesta técnica, o algoritmo apresentado possui a característica de ser genérico, ou seja, o mesmo pode ser utilizado em qualquer linha de transmissão, independentemente das peculiaridades desta (nível de tensão, geometria das torres, cabos, etc), sem ajustes adicionais na topologia ou nos parâmetros da RNA. Para tornar possível a implementação de tal algoritmo, foram desenvolvidas as etapas de pré e pós-processamento das RNA. O desempenho do algoritmo proposto é comparado com o desempenho de um algoritmo convencional (Fourier) utilizado na proteção de distância, frente a situações operativas idênticas de uma linha de transmissão. Os resultados desta comparação servem de indicação sobre a viabilidade de implementação prática do algoritmo proposto.

Palavras-chave

Proteção de distância, Relés digitais, Redes MLP, Proteção de linhas de transmissão.

1. INTRODUÇÃO

As linhas de transmissão percorrem grandes distâncias, passando sobre os mais variados tipos de terrenos e ficando permanentemente exposta ao tempo. Sob estas condições, dentre os componentes do sistema elétrico de potência, a linha de transmissão é o que apresenta o maior índice de defeito.

Para que os defeitos em linhas de transmissão tenham o menor impacto possível, é necessário que a linha tenha um adequado sistema de proteção. Esse sistema de proteção visa, no menor tempo possível, detectar, localizar e isolar o trecho da linha de transmissão com defeito (BLACKBURN,1997; HOROWITZ, 1996; STEVENSON, 1986). Algumas das conseqüências de um defeito, caso este persista, devido a falhas no sistema de proteção, são:

- 1- Redução na margem de estabilidade do sistema;
- Danos a equipamentos vizinhos;
- 3- Desligamento em cascata de uma área maior do sistema;
- 4- Danos a pessoas devido a explosões.

Na implantação do sistema de proteção, o nível de tensão da linha deve ser considerado, visto que os níveis mais altos (normalmente, linhas de transmissão mais importantes) requerem dispositivos mais rápidos, confiáveis e precisos. Tal necessidade exige a aplicação de relés mais complexos e sofisticados para atender aos requisitos de velocidade e confiabilidade. Essa medida torna a solução mais onerosa, porém, plenamente justificável.

A proteção de distância é a mais empregada nas linhas de transmissão, e por esse motivo, o presente trabalho propõe uma implementação do esquema de proteção de distância convencional, a partir da utilização de RNA. Tal proposta visa aproveitar a filosofia da proteção existente, somada a algumas vantagens das RNA. Visto que o algoritmo proposto, encontra-se vinculado ao esquema convencional de proteção de distância, uma abordagem sobre este último é realizada no próximo item.

1.1 Proteção de Distância

Através dos sinais de tensão e corrente provenientes da linha de transmissão, o relé de distância mede permanentemente a impedância "vista" a partir de sua localização. Neste caso, quando ocorre um curto-circuito na linha de transmissão, o relé mede a impedância do seu ponto de localização até o ponto de falta e, indiretamente, a distância da falta – daí o nome relé de distância.

Conforme Mason (1956), quando os relés de sobrecorrente tornam-se lentos ou não seletivos, os relés de distância devem ser utilizados, pois estes não são afetados pela corrente de curto-circuito (como os relés de sobrecorrente), além de serem menos afetados pelas mudanças na capacidade de geração e configuração do sistema. Essas diferenças existem porque os relés de distância operam com base na impedância medida, e não na corrente como os relés de sobrecorrente.

Normalmente, os relés de distância possuem três zonas de proteção, sendo a primeira zona ajustada para proteger de 85% a 95% da linha protegida (com operação instantânea), a segunda zona ajustada para proteger de 120% a 150% da linha protegida (com operação temporizada) e a terceira zona ajustada para proteger aproximadamente 150% da linha adjacente (com operação temporizada) (BLACKBURN, 1997; HOROWITZ, 1996; MANSON, 1956). A figura 1.1 ilustra os ajustes de tempo-distância, realizados num relé de distância, com função de proteger a linha AB. A figura 1.2 apresenta, no plano R-X, as três zonas de proteção do referido relé de distância (Mho). Nota-se nesta figura que o ponto de instalação do relé é representado pela origem do plano R-X, por onde passam todas as zonas de proteção.

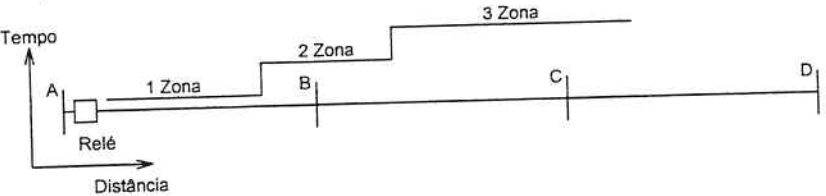


Figura 1.1 - Ajustes de tempo-distância do relé localizado na barra A

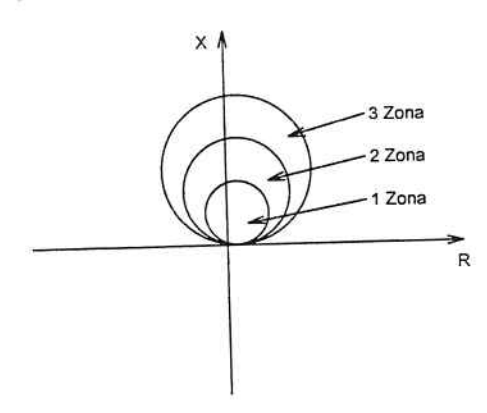


Figura 1.2 – Zonas de Proteção do relé de distância (Mho) no plano R-X.

Num relé de distância, os sinais de tensão e corrente nos secundários dos TP e TC são convenientemente combinados para possibilitar a determinação do valor da impedância de sequência positiva da falta (do ponto de instalação do relé até o ponto de falta) e, consequentemente, a distância em que esta ocorreu. Caso esse valor se encontre fora das três zonas de proteção, o sistema é tido como em operação normal, e o relé permanece bloqueado. Já para valores que se encontram na primeira zona de proteção, o relé atua, instantaneamente, abrindo o disjuntor. No caso de valores de impedância de sequência positiva que se encontram nas segunda e terceira zona de proteção, o relé atua com tempos de atraso pré-fixados, sendo o tempo de atuação da segunda zona, menor que o tempo de atuação da terceira zona.

Na prática, para a determinação da impedância de seqüência positiva da falta, o relé de distância utiliza seis elementos de medição. Três desses elementos, são denominados de elementos de fase (elementos AB, BC e CA) e cobrem sete tipos de defeitos, que são: curto-circuito trifásico (ABC), curto-circuito dupla fase (AB, BC e CA) e curto-circuito dupla fase envolvendo a terra (AB-N, BC-N e CA-N). Os outros três elementos, denominados de elementos de terra (elementos AN, BN e CN), cobrem os casos de defeitos envolvendo uma fase e a terra (A-N, B-N e C-N). Portanto, se um defeito ocorre na linha de transmissão, a impedância medida por um dos elementos de medição (ou todos no caso de um defeito trifásico) penetra a zona de proteção do relé, provocando a abertura do respectivo disjuntor, isolando o defeito.

O algoritmo apresentado neste trabalho consta de uma adaptação do relé de distância convencional, onde a implementação de todos os elementos de medição do relé (três de fase e três de terra) é desenvolvida a partir de RNA. Essa adaptação visa desenvolver uma proteção que, apesar de ser baseada em RNA, é aplicável à qualquer linha de transmissão. A importância dessa proposta está no fato de agregar algumas vantagens, inerentes às RNA, à extensamente utilizada proteção de distância convencional, sem, entretanto, restringir a utilização do algoritmo desenvolvido a uma única linha de transmissão, como ocorre até momento.

1.2 Motivação para o Desenvolvimento deste Trabalho

A motivação para o desenvolvimento deste trabalho provém de três fatos:

- 1- A grande importância de um eficiente esquema de proteção para as linhas de transmissão, razão pela qual existem tantos algoritmos disponíveis para essa função e tanto esforço, por parte dos pesquisadores, para aprimorar esses algoritmos.
- 2- A lacuna deixada quando se trata de algoritmos, baseados em RNA, aplicados a proteção de linhas de transmissão, que são desenvolvidos para uma linha de transmissão específica, o que inviabiliza a utilização prática dos mesmos.
- 3- A restrição apresentada pelos algoritmos existentes, baseados em RNA, que são empregados como classificadores de sinais, discriminando somente a zona faltosa da linha de transmissão, impedindo uma estimativa mais precisa sobre a localização do defeito.

Portanto, com vista ao exposto nos três fatos anteriores, a motivação do presente estudo é orientada pelo desenvolvimento de uma proteção de distância cujo algoritmo do elemento de medição é baseado em RNA. Tal algoritmo deve responder, com medidas de resistência e reatância, aos sinais de tensão e corrente presentes nos secundários dos TP e TC, proporcionando uma estimativa da localização do defeito. Como grande motivação, essas medidas fornecidas pelo algoritmo devem estar desvinculadas das características do sistema elétrico protegido. Isso significa que o tipo dos condutores, a geometria das torres, ou o nível de tensão da linha, não devem ter influência sobre o algoritmo proposto. Com essa abordagem acredita-se estar contribuindo para estender a fronteira das pesquisas, voltadas para a aplicação das RNA na proteção de distância, à medida que se viabiliza a utilização dessa solução na prática.

2. TRABALHOS ANTERIORES

A aplicação de RNA em sistemas elétricos de potência é uma linha de pesquisa que atrai cada vez mais os pesquisadores da área de sistemas de potência. Em particular, a utilização de RNA na proteção das redes elétricas vêm chamando a atenção dos engenheiros de proteção. Esse fato é justificado pelos bons resultados obtidos nas pesquisas que descrevem a utilização de RNA na proteção de equipamentos, proteção de linhas, diagnóstico de falhas, entre outros. Tal êxito é atribuído à capacidade das RNA extraírem características importantes dos sinais provenientes dos elementos protegidos, além de representarem funções complexas sem envolver grande formalismo matemático, como ocorre nos métodos atuais.

Em especial, a aplicação de RNA na proteção de linhas de transmissão é um ramo cada vez mais explorado, visto a importância deste componente nos sistemas elétricos de potência, e o alto índice de defeitos relacionados ao mesmo. Em Santos (2004) é apresentada uma abordagem sobre a utilização de RNA na proteção de linhas de transmissão. Tal abordagem destaca alguns aspectos importantes com relação aos trabalhos desenvolvidos até o momento, visando discriminar onde o algoritmo proposto contribui para o estado da arte.

Através dos trabalhos apresentados por Santos (2004), são verificadas as inúmeras possibilidades oferecidas pelas RNA na implementação de algoritmos para a proteção de linhas de transmissão, bem como, são salientados os bons resultados que podem ser obtidos quando a referida técnica é empregada. Os seguintes pontos se destacam nos algoritmos desenvolvidos até o momento:

- 1- Todos os algoritmos tem suas RNA treinadas para operarem numa única linha de transmissão. Portanto, para a sua utilização em uma nova linha, seria necessário refazer a simulação de centenas ou milhares de casos de faltas dessa linha, além de todo o processo de treinamento da RNA. Tal necessidade inviabiliza a aplicação prática da solução baseada na teoria de RNA;
- 2- As RNA utilizadas nos algoritmos trabalham como classificadores de sinais, indicando se o defeito ocorreu dentro ou fora da zona de proteção, não oferecendo uma localização precisa do defeito;
- 3- Os algoritmos possuem RNA treinadas a partir de sinais oriundos de simulações de sistemas elétricos de potência modelados na integra, o que demanda um razoável esforço inicial.

A observação dos itens 1, 2 e 3 torna evidente que existem algumas lacunas deixadas nos atuais algoritmos para a proteção de linhas de transmissão. Sendo assim, o que se propõe neste trabalho é um algoritmo, baseado em RNA, que atenda à certos requisitos fundamentais, elaborados para preencher as lacunas existentes nos algoritmos apresentados anteriormente e contribuir para o estado da arte. Tais requisitos são descritos, genericamente, nos itens a e b apresentados a seguir.

- a- O algoritmo deve ser aplicável a qualquer linha de transmissão;
- b- A RNA deve atuar como um aproximador de função, e não como classificador de sinais;

Visando satisfazer os itens a e b e contribuir para o estado da arte, foi desenvolvido um algoritmo com as seguintes características, para a implementação de uma proteção de distância: o algoritmo possui um comportamento genérico, ou seja, pode ser aplicado a qualquer linha de transmissão, independentemente das peculiaridades da mesma; o algoritmo é capaz de estimar com precisão a localização do defeito, estimando valores de resistência e reatância a partir de amostras de tensão e corrente (provenientes da linha de transmissão);

o algoritmo proposto é passível de treinamento através de um sistema de primeira ordem (circuito monofásico de sequência positiva), dispensando a necessidade da modelagem completa do sistema elétrico de potência.

3. REDES NEURAIS ARTIFICIAIS

Entre as técnicas de inteligência artificial, uma que desperta especial interesse nos engenheiros de sistemas de potência são as Redes Neurais Artificiais (RNA). Nesta técnica encontra-se grande possibilidade de resolução de problemas complexos, sem requerer um grande formalismo matemático, comum na solução clássica.

Dependendo do tipo de problema que se deseja resolver (Proteção, Fluxo de Carga, Confiabilidade, entre outros), as RNA podem dispor de duas características essenciais: (DEMUTH, 1996; HAYKIN, 1994)

- 1- Capacidade de interpretação e classificação de dados;
- Capacidade de aproximar qualquer função desejada.

Neste trabalho, que se destina à implementação de um dispositivo para a proteção de linhas de transmissão, é feito o uso da característica de aproximação de função da RNA. Neste item, são contemplados os principais tópicos relacionados às redes MLP (utilizadas no algoritmo proposto), visando formar uma base de conhecimento suficiente para a apresentação do algoritmo desenvolvido.

3.1 Redes MLP

Rosenblatt desenvolveu na década de 50, as redes compostas por Perceptron dispostos em várias camadas, denominadas de Multilayer Perceptron (MLP). Nestas redes, os neurônios que recebem os sinais de entrada constituem a camada de entrada, enquanto que os neurônios na saída da rede constituem a camada de saída. Os neurônios que se encontram entre as camadas de entrada e saída, constituem as camadas ocultas. A figura 3.1 apresenta, a título de exemplo, uma rede MLP com seis neurônios dispostos em de três camadas.

Cada camada é composta por um conjunto de neurônios, pesos, valores de polarização e função de ativação (BRAGA, 2000; KOVÁCS, 1996).

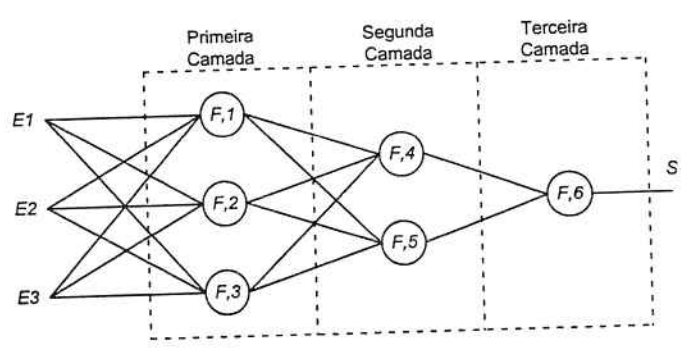


Figura 3.1 - Rede MLP com 3 camadas

O grande poder computacional deste tipo de rede torna possível a solução dos problemas não linearmente separáveis: "uma RNA composta de camada de entrada, camada de saída e pelo menos uma camada oculta, pode representar qualquer função com um número finito de descontinuidades, desde que tenha número de neurônios suficientes e uma função não linear na camada oculta" (HAYKIN, 1994; WASSERMAN, 1989).

Redes MLP procuram, simplificadamente, simular o comportamento do cérebro humano, processando as informações presentes na camada de entrada da RNA, até a camada de saída desta, transportando tais informações ao longo de uma rede de neurônios artificiais, dispostos em várias camadas. As conexões sinápticas presentes no sistema biológico, são simuladas nas RNA, através de pesos localizados nas entradas de cada neurônio artificial. O ajuste desses pesos traduz o conhecimento adquirido pela RNA, e é conseguido a partir de um processo de aprendizado da mesma - treinamento da RNA.

Tipos de Treinamento 3.1.1

Para ajustar os pesos da RNA de forma que esta "aprenda" uma função de interesse, ou seja, adquira "conhecimento", é necessário que a mesma passe por um processo de treinamento. Após tal processo, a RNA é submetida à um teste de generalização, que visa, através da análise das suas respostas, diante de situações desconhecidas, verificar se a mesma "aprendeu" corretamente a tarefa desejada. O processo de treinamento da RNA pode ser realizado basicamente de duas maneiras:

Treinamento supervisionado: neste caso existem pares de vetores entrada/saída conhecidos (denominados de conjunto de treinamento). Para cada vetor de entrada (conhecido) aplicado à RNA, compara-se a saída emitida pela rede (calculada) com a saída esperada (conhecida). Caso a saída emitida pela RNA, para uma determinada entrada, não seja a saída esperada, os pesos da rede são alterados de forma a minimizar o erro entre as saídas emitida e esperada. Este processo dura até que o erro entre tais saídas atinja um valor mínimo esperado ou o processo alcance o número máximo de iterações determinado inicialmente.

Treinamento não supervisionado: Neste método de treinamento existe mais plausibilidade biológica do que no método anterior, visto que não existem pares de vetores entrada/saída, para realimentar o sistema e minimizar o erro (WASSERMAN, 1989). Desenvolvido por Kohonen em 1984, o treinamento não supervisionado consiste apenas de vetores de entrada e, à medida que estes são aplicados à rede, os pesos desta são modificados para formar vetores de saída consistentes. Portanto, após o treinamento, a RNA é capaz de classificar corretamente os dados de entrada, gerando saídas previsíveis para tais vetores. Conforme observado, neste tipo de treinamento, a rede se auto-configura para criar (internamente) classes referentes aos vetores de entrada.

3.2 Algoritmo Backpropagation

O algoritmo *Backpropagation* foi desenvolvido para redes de neurônios de múltiplas camadas (MLP), resolvendo uma das limitações fundamentais para o treinamento de redes complexas. Conforme Kovács (1996), o objetivo deste algoritmo é determinar novos pesos para a RNA, visando reduzir o erro quadrático entre o par de vetores saída desejada e saída calculada. A figura 3.2 apresenta uma descrição de alto nível do algoritmo Backpropagation (LOONEY, 1997; WASSERMAN, 1989).

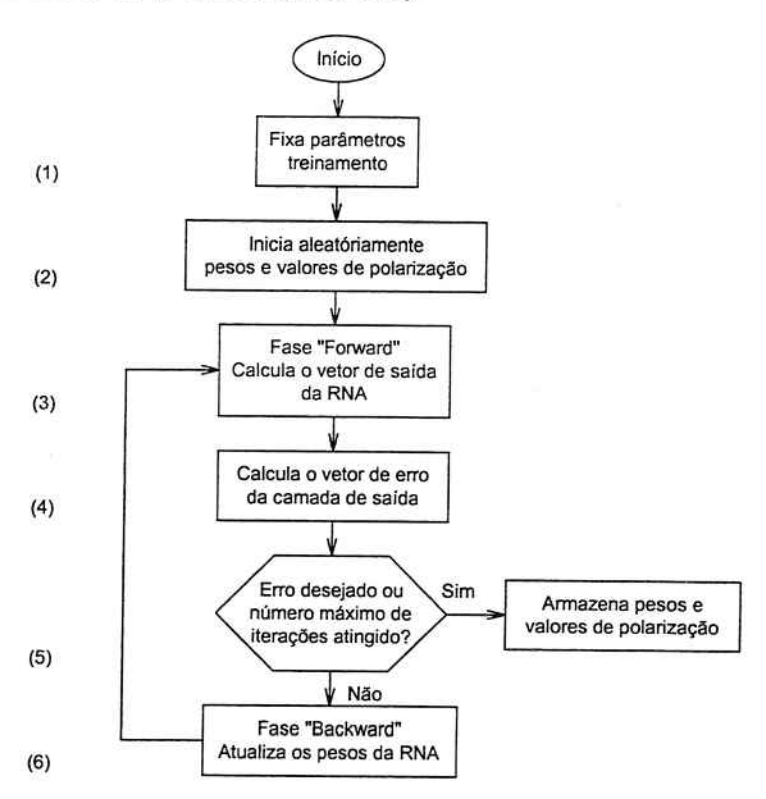


Figura 3.2 - Diagrama de alto nível do algoritmo Backpropagation

- Passo 1: Para uma determinada arquitetura de RNA, fixam-se os parâmetros de treinamento, tais como: taxa de aprendizado (tamanho do passo para a correção dos pesos), número máximo de iterações e erro máximo desejado sobre o conjunto de treinamento:
- Passo 2: Inicializa aleatoriamente os pesos e valores de polarização da RNA;
- Passo 3: Dado um conjunto de treinamento, calcula-se o vetor de saída da RNA;
- Passo 4: Determina-se o erro, na camada de saída, referente ao conjunto de treinamento apresentado;
- Passo 5: Verifica-se se o número máximo de iterações ou o erro máximo desejado, ambos fixados no passo 1, foi atingido. Em caso afirmativo, os valores dos pesos e de polarização são armazenados e o treinamento é encerrado. Caso contrário, tais valores são recalculados no passo 6 e retorna-se ao passo 3;
- Passo 6: Os pesos são recalculados na camada de saída e nas camadas ocultas.

4. PROPOSTA DO RELÉ BASEADO EM RNA

A proposta principal deste trabalho é o desenvolvimento de um algoritmo, baseado em Redes Neurais Artificiais (RNA), para efetuar a proteção de linhas de transmissão. A contribuição principal do algoritmo desenvolvido é a sua capacidade de ser empregado em qualquer linha de transmissão, independentemente das peculiaridades da mesma. Essa característica de ser genérico, tida como principal para o algoritmo desenvolvido, é o que o diferencia dos demais algoritmos baseados em RNA, os quais são projetados para resolver problemas de uma situação específica, ou seja, treinados para operar em uma única linha de transmissão. Essa limitação, própria das RNA, é causada pelos casos utilizados no processo de treinamento das mesmas, que são gerados a partir da situação problema (ou seja, da linha que se deseja proteger). Para tornar o algoritmo baseado em RNA genérico, foi desenvolvido um esquema de pré e pós-processamento dos sinais de tensão e corrente, o qual é descrito em detalhes nos itens a seguir.

4.1 Diagrama Funcional do Relé de Distância

Para um diagrama funcional típico de relé digital, conforme o apresentado na figura 4.1, o algoritmo desenvolvido é alocado no bloco microprocessador.

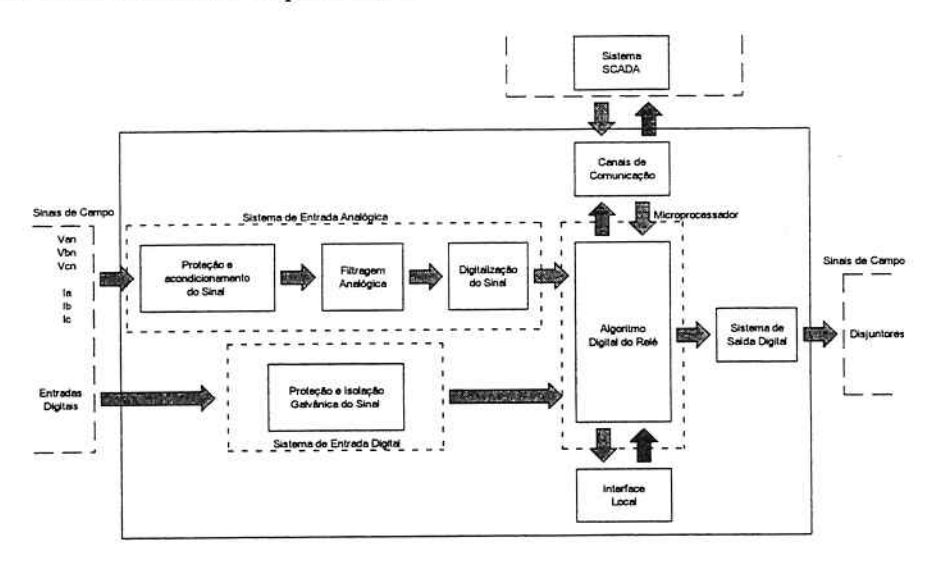


Figura 4.1 - Diagrama funcional típico dos Relés Digitais

A figura 4.2 ilustra o fluxo dos sinais de tensão e corrente, sem discriminação de fase, no algoritmo proposto. Os próximos itens detalham os blocos apresentados nesta figura.

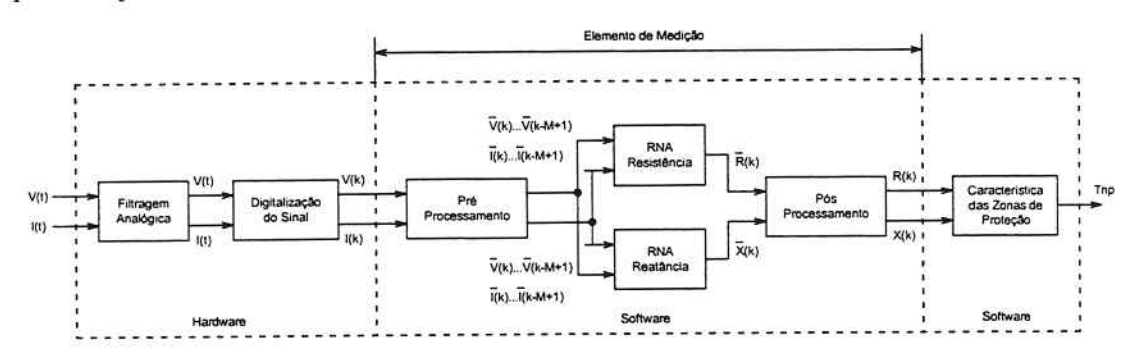


Figura 4.2 - Fluxo dos sinais de tensão e corrente no algoritmo proposto

4.1.1 Digitalização do Sinal

No processo de digitalização do sinal, os dois parâmetros mais importantes são a resolução do conversor A/D e a freqüência de amostragem. Com relação ao primeiro parâmetro, conversores com resolução de 12 a 16 bits garantem um baixo ruído de amostragem e uma boa precisão em toda a faixa dinâmica de operação do relé. Já com relação à freqüência de amostragem, foram analisadas as freqüências típicas de 16 e 32 amostras por ciclo, utilizadas em grande parte dos equipamentos comerciais. Com essas freqüências de amostragem procura-se limitar a carga computacional imposta ao microprocessador. No algoritmo proposto,

estas duas freqüências de amostragem são utilizadas, proporcionando um estudo comparativo da freqüência de amostragem mais conveniente para a aplicação em questão.

4.1.2 Filtragem Analógica

O filtro projetado para ser utilizado no algoritmo em questão provém da opção de se utilizar um único filtro para as freqüências de amostragens de 960 Hz (16 Amostras/Ciclo) e 1920 Hz (32 Amostras/Ciclo), e possui as seguintes características: filtro analógico classe Butterworth, passa-baixa, ordem 3 e freqüência de corte de 200 Hz. A freqüência de corte deste filtro foi determinada de forma a impor uma atenuação de no mínimo dez vezes para as componentes de freqüência superiores a 480 Hz, respeitando a condição de Nyquist.

4.2 Algoritmo do Elemento de Medição de Impedância

É importante destacar que o algoritmo a ser desenvolvido é relativo somente ao módulo de medição da impedância de falta, ficando subentendido que a detecção do defeito e a classificação do mesmo são realizadas pelos métodos convencionais. A abordagem de tais métodos encontra-se fora do escopo deste trabalho.

Conforme salientado anteriormente, o relé de distância utiliza seis elementos de medição para estimar corretamente a impedância para os dez tipos possíveis de falta (BLACKBURN, 1997; HOROWITZ, 1996; STEVENSON, 1986). Desses seis elementos, três são denominados de elementos de fase (AB, BC e CA) e monitoram as faltas envolvendo duas ou mais fases. Os outros três elementos são denominados de elementos de terra (AN, BN, CN) e monitoram as faltas envolvendo uma fase e a terra.

No algoritmo proposto, os elementos de fase e de terra são implementados com RNA que, a partir das entradas com os sinais de tensão e corrente, devidamente processadas, determinam a cada instante a impedância de seqüência positiva "vista" pelo relé, em relação à sua localização. Para realizar tal tarefa, o algoritmo de medição desenvolvido possui as etapas de pré-processamento, RNA e pós-processamento.

A etapa de pré-processamento está presente em cada elemento de medição do algoritmo, sendo responsável pela geração dos sinais de entrada das RNA, conforme ilustram as figuras 4.3 e 4.4, para o elemento de fase AB e o elemento de terra AN. Para os demais elementos do algoritmo, processamento análogo ao apresentado para os elementos AB e AN são utilizados.

Na etapa das RNA os sinais pré-processados, referentes a cada elemento de medição, são aplicados a duas RNA convenientemente treinadas, que determinam a resistência e a reatância "vistas" pelo relé, a partir de seu ponto de localização. Uma vez que os sinais de entrada das RNA foram normalizados pela etapa de pré-processamento, os valores de resistência e reatância na saída dessas redes, também encontram-se normalizados.

Na etapa de pós-processamento os valores normalizados nas saídas das RNA são novamente passados para valores de resistência e reatância em Ohms. Após essa etapa, os valores de impedância são submetidos ao módulo que testa as zonas de proteção do relé e decide pela geração ou não do sinal de *trip*.

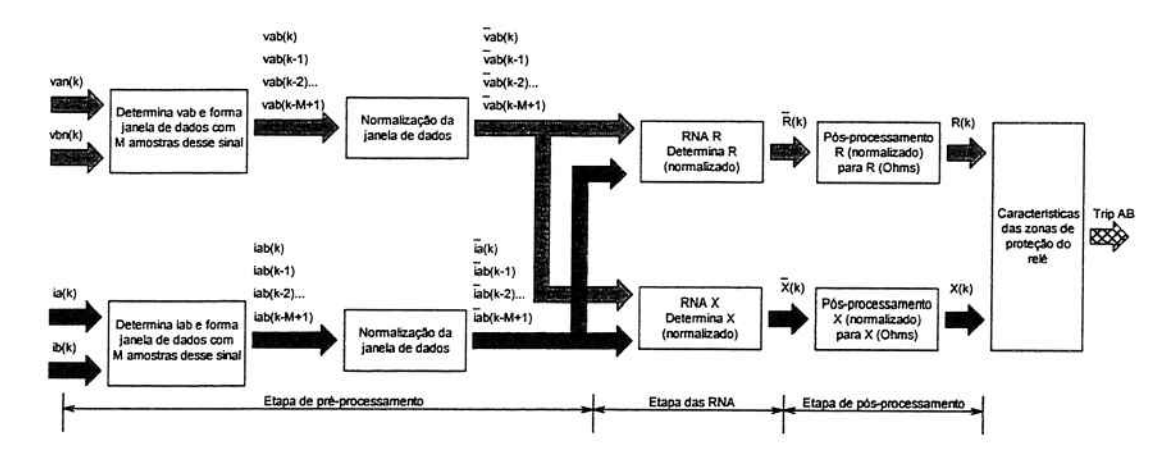


Figura 4.3 - Etapas do algoritmo proposto - elemento de fase AB

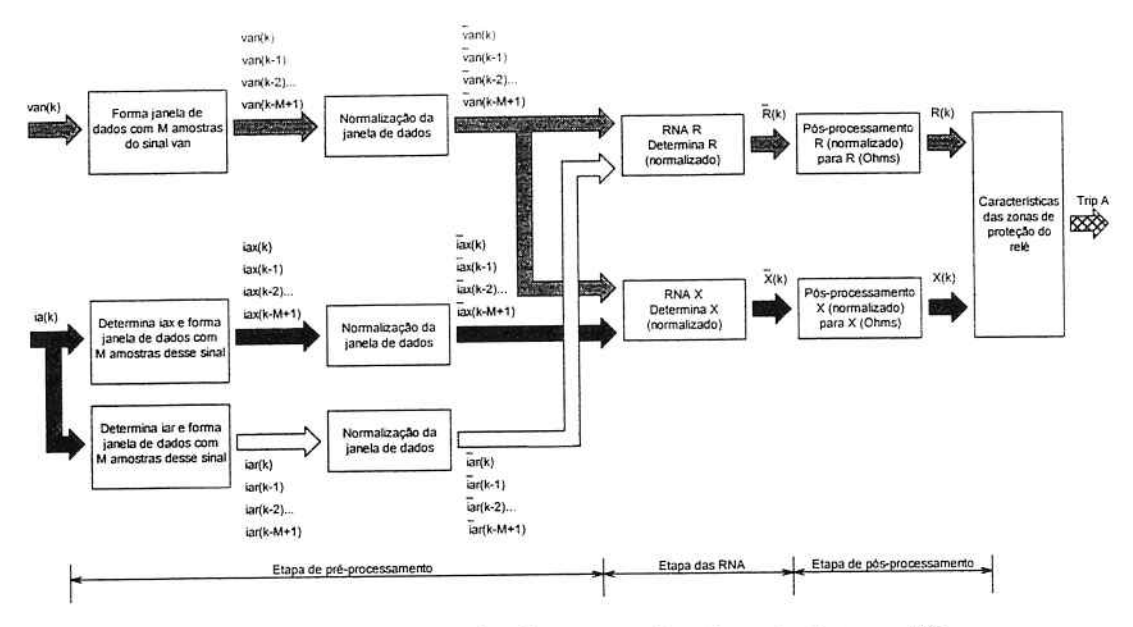


Figura 4.4 - Etapas do algoritmo proposto - elemento de terra AN

4.3 Etapa de Pré-Processamento

A função desta etapa é gerar os sinais de entrada para as RNA, conforme apresentado nas figuras 4.3 e 4.4, para os elementos de medição AB e AN. A partir das referidas figuras, observa-se que as etapas de préprocessamento dos elementos de fase e dos elementos de terra do algoritmo são diferentes. Entretanto, o mesmo tratamento é dado a todos os elementos de fase (AB, BC e CA), diferindo apenas nos sinais de entrada utilizados por cada elemento de medição. Analogamente, todos os elementos de terra (AN, BN e CN) sofrem o mesmo processamento, tendo como única diferença os sinais de entrada utilizados em cada elemento de medição. Sendo assim, neste item será abordado o esquema de pré-processamento imposto aos sinais de entrada dos elementos de fase e de terra do algoritmo em questão.

4.3.1 Geração dos Sinais de Entrada dos Elementos de Medição

Neste trabalho, cada elemento de medição é composto por duas RNA, sendo, em cada elemento, uma para determinar R e outra para determinar X. È importante ressaltar que independentemente do elemento que se deseja representar, não há distinção entre as redes que estimam a resistência, o mesmo ocorrendo para as redes que estimam a reatância. Dessa forma existem somente duas RNA, que são idênticas em termos de arquitetura, diferindo apenas nos seus processos de treinamento, ou seja, uma foi treinada para estimar R e a outra X.

Quando se deseja treinar uma RNA para estimar a resistência, o conjunto de treinamento desta deve ser composto por vetores de entrada com amostras de tensão e corrente (devidamente processadas), enquanto que o vetor de saída deve conter amostras com valores de resistência. Já para o treinamento de uma RNA que estima a reatância, as amostras de tensão e corrente que constituem o vetor de entrada devem estar associadas a um vetor de saída com amostras de reatância (ver item 5).

Para exemplificar o princípio de funcionamento dos elementos de terra do algoritmo proposto, a figura 4.5 apresenta o esquema utilizado no elemento de terra AN. Para o entendimento dos demais elementos de terra, raciocínio análogo ao apresentado para o elemento AN deve ser empregado.

Uma abordagem mais detalhada sobre o esquema de pré-processamento é apresentada em Santos (2004), que deduz as expressões utilizadas para gerar os sinais de entrada das RNA (elementos de terra e fase).

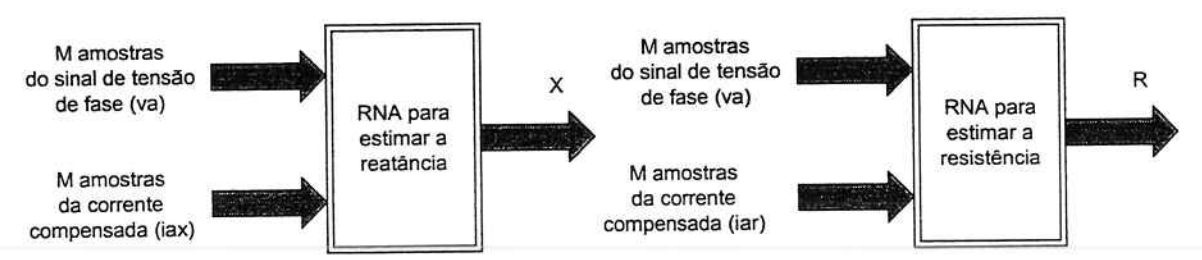


Figura 4.5 – Esquema baseado em RNA para a estimativa de R e X – Elemento de terra AN

A partir do esquema apresentado na figura 4.5, observa-se que os valores de resistência e reatância, "vistas" pelo relé, na ocasião de um curto-circuito monofásico, ficam em função exclusivamente da tensão de fase (v_a) e das correntes compensadas $(i_{ar} e i_{ax})$ no ponto de instalação do relé, onde:

$$i_{ar(k)} = i_{a(k)} + Kr.i^{0}_{(k)}$$
(1)

$$i_{ax(k)} = i_{a(k)} + Kx i^{0}_{(k)}$$
 (2)

$$v_{a(k)}$$
 (3)

$$Kr = \frac{R^0 - R^1}{R^1} = \frac{r^0 - r^1}{r^1} \tag{4}$$

$$Kx = \frac{L^0 - L^1}{L^1} = \frac{l^0 - l^1}{l^1}$$

(5) sendo,

 R^{1} , R^{0} = Resistências de sequência positiva e zero do trecho com defeito (Ohms);

r¹, r⁰ = Resistências de seqüência positiva e zero da linha (Ohms/km)

, L^1 = Indutâncias de sequência positiva e zero do trecho com defeito (Ohms);

 l^0 , l^1 = Indutâncias de sequência positiva e zero da linha (Ohms/km);

 v_a = Tensão na fase A no local do relé;

 i_a = Corrente de linha na fase A; i^0 = Corrente de seqüência zero;

Kr e Kx = Fator de compensação:

k = Representação da amostra mais recente.

Conforme destacado na abordagem sobre o relé de distância convencional, a corrente utilizada pelo elemento de terra do relé deve ser corrigida, de forma que resulte num equacionamento utilizando somente a impedância de sequência positiva. Para isso, é utilizado um fator de compensação que, quando se trabalha no domínio da frequência, é aplicado diretamente sobre a corrente de linha que chega em cada elemento de terra (BLACKBURN, 1997; HOROWITZ, 1996). Entretanto, como no algoritmo proposto trabalha-se com uma sequência de amostras e, portanto, no domínio do tempo, o fator de compensação utilizado para a correção da corrente que chega em cada elemento de terra do algoritmo é obtido através das expressões 4 e 5.

Os sinais de entrada do elemento de terra AN para uma janela de dados de M amostras, são apresentados a seguir.

Sinais de entrada para estimar a resistência (sinais de entrada da rede R)

Janela do sinal
$$v_a = \begin{bmatrix} v_{a(k)} & v_{a(k-1)} & v_{a(k-2)} & \cdots & v_{a(k-M+1)} \end{bmatrix}$$

Janela do sinal
$$i_{ar} = \begin{bmatrix} i_{ar(k)} & i_{ar(k-1)} & i_{ar(k-2)} & \cdots & i_{ar(k-M+1)} \end{bmatrix}$$

Sinais de entrada para estimar a reatância (sinais de entrada da rede X)

$$\textit{Janela do sinal } v_a = \begin{bmatrix} v_{a(k)} & v_{a(k-1)} & v_{a(k-2)} & \cdots & v_{a(k-M+1)} \end{bmatrix}$$

Janela do sinal
$$i_{ax} = \begin{bmatrix} i_{ax(k)} & i_{ax(k-1)} & i_{ax(k-2)} & \cdots & i_{ax(k-M+1)} \end{bmatrix}$$

Após a análise da geração dos sinais de entrada dos elementos de terra, será efetuada uma análise da geração dos sinais de entrada dos elementos de fase do algoritmo proposto. Igualmente aos relés convencionais, este algoritmo utiliza como entrada para os elementos de fase AB, BC e CA, os respectivos sinais v_{ab} e i_{ab} , v_{bc} e i_{bc} , v_{ca} e i_{ca} (BLACKBURN, 1997; HOROWITZ, 1996).

Com a finalidade de abordar o princípio de funcionamento dos elementos de fase do algoritmo proposto, a figura 4.6 ilustra o esquema utilizado para o elemento de fase AB, sendo que os demais elementos de fase possuem comportamento análogo a este.

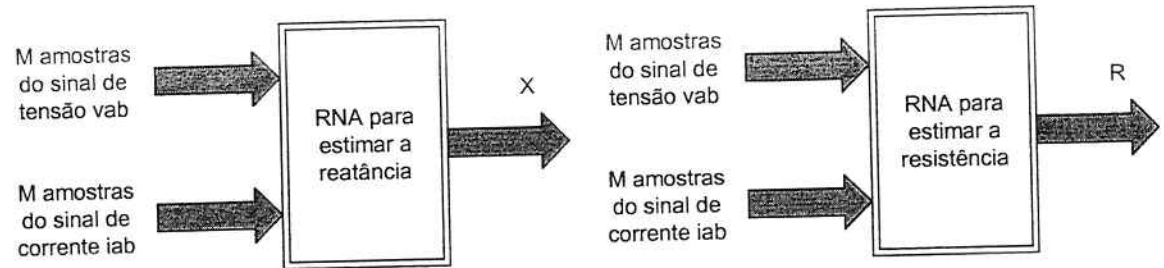


Figura 4.6 – Esquema baseado em RNA para a estimativa de R e X – Elemento de Fase AB

No domínio do tempo, as expressões 6 – 7 são empregadas para determinar os sinais de entrada do elemento de fase AB do algoritmo em questão.

$$v_{ab(k)} = v_{a(k)} - v_{b(k)} \tag{6}$$

$$i_{ab(k)} = i_{a(k)} - i_{b(k)} \tag{7}$$

A título de exemplo, os sinais de entrada utilizados no elemento de fase AB, para uma janela de dados de M amostras, são apresentados na seqüência.

Sinais de entrada para estimar a resistência (sinais de entrada da rede R)

$$Janela\ do\ sinal\ v_{ab} = \begin{bmatrix} v_{ab(k)} & v_{ab(k-1)} & v_{ab(k-2)} & \cdots & v_{ab(k-M+1)} \end{bmatrix}$$

$$Janela\ do\ sinal\ i_{ab}=\begin{bmatrix}i_{ab(k)} & i_{ab(k-1)} & i_{ab(k-2)} & \cdots & i_{ab(k-M+1)}\end{bmatrix}$$

Sinais de entrada para estimar a reatância (sinais de entrada da rede X)

$$\textit{Janela do sinal } v_{ab} = \begin{bmatrix} v_{ab(k)} & v_{ab(k-1)} & v_{ab(k-2)} & \cdots & v_{ab(k-M+1)} \end{bmatrix}$$

$$\textit{Janela do sinal } i_{ab} = \begin{bmatrix} i_{ab(k)} & i_{ab(k-1)} & i_{ab(k-2)} & \cdots & i_{ab(k-M+1)} \end{bmatrix}$$

4.3.2 Utilização de Valores Normalizados

Como parte do processo, para proporcionar um comportamento genérico ao algoritmo, a cada nova amostra de tensão e corrente, as janelas de dados dos sinais dos seis elementos de medição são normalizadas. Dessa forma, pretende-se que os sinais de entrada, que constituem os vetores de entrada das RNA, fiquem independentes do nível de tensão da linha de transmissão protegida. Essa medida ainda visa satisfazer a condição imposta pela função de ativação dos neurônios presentes na camada de entrada das RNA, que só permite vetores de entrada com valores limitados entre -1 e +1 – função tangente hiperbólica (Tansig).

A normalização de uma janela de dados é realizada a partir da divisão de todos os seus elementos (amostras), pelo elemento de maior valor absoluto. Quando este procedimento é realizado numa janela de dados de tensão, o maior elemento da janela é chamado de Vb (tensão de base da janela). Já quando o procedimento ocorre numa janela de dados de corrente, o maior elemento é chamado de Ib (corrente de base da janela). A cada nova janela de dados a relação entre Vb e Ib gera Zb, denominado de impedância de base da janela de dados. Esse procedimento é retratado nos pontos (1 - 5) descritos na seqüência, para uma janela de M amostras se deslocando sobre os sinais v_{ab} e i_{ab} (sinais de entrada do elemento de fase AB). Para as demais fases e sinais, a análise é análoga ao caso exemplificado a seguir.

Devido a semelhança entre o processo de normalização descrito neste item e o processo de aplicação do sistema p.u., usualmente empregado em sistemas de potência, adotou-se, neste trabalho, para o referido processo de normalização, a mesma notação utilizada no sistema p.u.. Isso significa que os valores normalizados são indicados por uma barra horizontal sobre a variável em questão (corrente, tensão ou impedância).

Convém salientar que tal processo de normalização não consta somente da adequação dos valores de entrada das RNA, sendo, entretanto, bastante semelhante à utilização do sistema p.u., visto que gera uma impedância de base Zb que possibilita a determinação dos valores de resistência e reatância em Ohms.

1- Sinais de entrada para o elemento AB

$$Janela\ do\ sinal\ v_{ab} = \begin{bmatrix} v_{ab(k)} & v_{ab(k-1)} & v_{ab(k-2)} & \cdots & v_{ab(k-M+1)} \end{bmatrix}$$

Janela do sinal
$$i_{ab} = \begin{bmatrix} i_{ab(k)} & i_{ab(k-1)} & i_{ab(k-2)} & \cdots & i_{ab(k-M+1)} \end{bmatrix}$$

2- Determina os valores de base das janelas de tensão (v_{ab}) e corrente (i_{ab}) para o instante da amostra k

$$Vb_{ab(k)} = \max \left[\left| v_{ab(k)} \right| \quad \left| v_{ab(k-1)} \right| \quad \left| v_{ab(k-2)} \right| \quad \cdots \quad \left| v_{ab(k-M+1)} \right| \right]$$

$$Ib_{ab(k)} = \max \left[\left| i_{ab(k)} \right| \quad \left| i_{ab(k-1)} \right| \quad \left| i_{ab(k-2)} \right| \quad \cdots \quad \left| i_{ab(k-M+1)} \right| \right]$$

3- Determina a impedância de base para o instante da amostra k

$$Zb_{ab(k)} = \frac{Vb_{ab(k)}}{Ib_{ab(k)}}$$
4- Normaliza as amostras do sinal de entrada (8)

4- Normaliza as amostras do sinal de entrada

$$\begin{aligned} & \textit{Janela do sinal } v_{ab(nor)} = \frac{\textit{Janela do sinal } v_{ab}}{\textit{Vb}_{ab(k)}} = \begin{bmatrix} \bar{v}_{ab(k)} & \bar{v}_{ab(k-1)} & \bar{v}_{ab(k-2)} & \cdots & \bar{v}_{ab(k-M+1)} \end{bmatrix} \\ & \textit{Janela do sinal } i_{ab(nor)} = \frac{\textit{Janela do sinal } i_{ab}}{\textit{Ib}_{ab(k)}} = \begin{bmatrix} \bar{i}_{ab(k)} & \bar{i}_{ab(k-1)} & \bar{i}_{ab(k-2)} & \cdots & \bar{i}_{ab(k-M+1)} \end{bmatrix} \end{aligned}$$

5- Forma os vetores de entrada das RNA

$$Vetor \ de \ entrada(AB) = \begin{bmatrix} Janela \ do \ sinal \ v_{ab(nor)} \\ Janela \ do \ sinal \ i_{ab(nor)} \end{bmatrix} = \begin{bmatrix} \overline{v}_{ab(k)} \\ \overline{v}_{ab(k-2)} \\ \vdots \\ \overline{v}_{ab(k-M+1)} \\ \overline{i}_{ab(k)} \\ \overline{i}_{ab(k-1)} \\ \vdots \\ \overline{i}_{ab(k-M+1)} \end{bmatrix}$$

Onde o índice "nor" indica que a janela de dados está normalizada.

Conforme salientado anteriormente, o relé proposto consta de duas RNA para cada elemento de medição, sendo em cada elemento, uma rede para determinar a resistência e outra para determinar a reatância. Independentemente do elemento de medição, todas as redes que estimam a resistência são iguais entre si, sendo que o mesmo ocorre com as redes que estimam a reatância. Portanto, em função do elemento de medição que se deseja representar, faz-se necessária somente a alteração do vetor de entrada das respectivas RNA. O vetor de entrada de cada RNA é obtido mediante a adequada associação da janela de dados de tensão e corrente, para o elemento de proteção que se deseja implementar. As figuras 4.3 e 4.4 ilustram os dois pares de redes neurais dos elementos de medição AB e AN, com as suas respectivas entradas. Como já observado, para cada RNA o vetor de entrada possui os M primeiros elementos referentes à janela de dados de tensão, seguido de outros M elementos referentes à janela de dados de corrente.

Neste trabalho foram analisadas janelas de dados de 4, 8, 12 e 16 amostras, implicando em RNA com 8, 16, 24 e 32 entradas, respectivamente. Em termos de arquitetura da RNA, neste trabalho, o número de entradas da rede é sempre igual ao comprimento do vetor de entrada da mesma, ou seja, duas vezes o comprimento da janela de dados utilizada (uma janela de tensão e outra de corrente).

4.4 Etapa das Redes Neurais Artificiais

A etapa das RNA é o núcleo do algoritmo desenvolvido e consta, basicamente, de redes previamente treinadas para aproximar funções. No presente trabalho, são utilizados dois tipos de redes neurais: a primeira treinada para determinar o valor da resistência (rede R); a segunda treinada para determinar o valor de reatância (rede X). Estas duas redes determinam esses valores a partir das amostras de tensão e corrente, aplicadas nas suas entradas, por intermédio dos seus respectivos vetores de entrada. Tanto os valores de entrada, como os valores de saída da rede neural, encontram-se normalizados. Isso se deve em parte à imposição da função de ativação utilizada nas camadas de entrada e saída das RNA (tangente hiperbólica, -1 a +1) porém, principalmente, como parte do esquema para proporcionar um funcionamento genérico do algoritmo, ficando este independente do nivel de tensão da linha de transmissão protegida.

A figura 4.7 apresenta a RNA utilizada neste projeto para processar o vetor de entrada do elemento de medição AB, supondo uma janela de dados com M amostras.

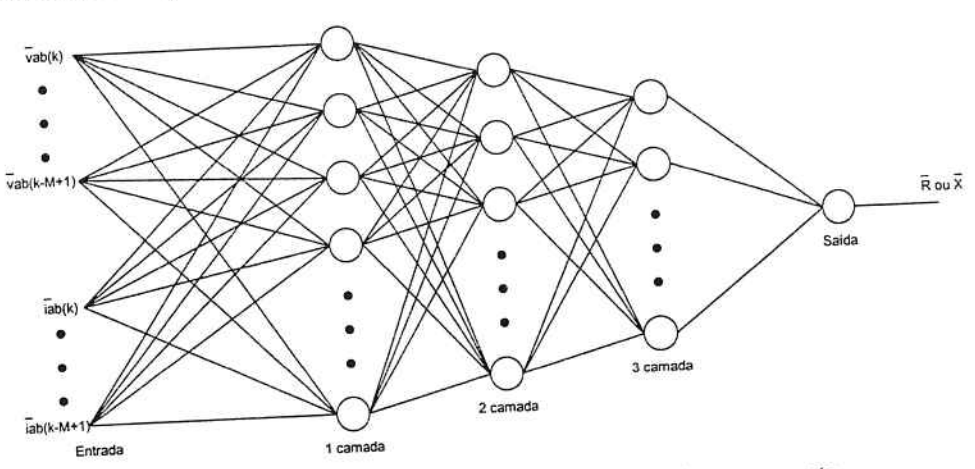


Figura 4.7 - Exemplo de RNA utilizada no algoritmo proposto

4.5 Etapa de Pós-Processamento

Esta etapa transforma em Ohms, os valores de resistência e reatância (normalizados) presentes nas saídas das RNA. Essa transformação consiste simplesmente em multiplicar a saída da rede (resistência ou reatância normalizada) pelo valor de Zb, (impedância de base) calculado através dos valores de Vb (tensão de base) e Ib (corrente de base), definidos para cada janela de dados de tensão e corrente que formam o vetor de entrada (vide expressão 8). A partir dos valores de resistência e reatância em Ohms e da característica de atuação ajustada para o elemento de fase 21 ou para o elemento de terra 21N, o relé pode gerar ou não o sinal de trip.

METODOLOGIA PARA O TREINAMENTO DAS RNA

Este item detalha o procedimento adotado para a geração dos sinais utilizados nos processos de treinamento e validação das RNA analisadas neste trabalho. Tais sinais são constituídos por janelas de dados representando as diversas condições operativas encontradas nas linhas de transmissão, possibilitando o treinamento das RNA (rede R e rede X) para as condições de regime permanente e transitório de curto-circuito. Após treinadas, as redes são submetidas a testes de validação.

O software Matlab e o seu respectivo Toolbox de RNA (Neural Network Toolbox) foram empregados para a simulação das RNA e execução das rotinas de treinamento e validação das mesmas.

5.1 Treinamento das RNA

Para o algoritmo proposto são necessárias duas categorias de RNA: uma que estima o valor de resistência (normalizado) e outra que estima o valor de reatância (normalizado), para amostras de tensão e corrente contidas nos seus vetores de entrada (normalizados). Para que a rede seja capaz de realizar a função descrita, deve-se submeter a mesma a um processo de treinamento, que é utilizado para "ensinar" à rede a função de interesse – neste caso determinar R ou X a partir de amostras de V e I. Portanto, devem existir dois conjuntos de treinamento, um para treinar a rede R e outro para treinar a rede X.

No presente trabalho optou-se pela utilização de redes MLP (próprias para a aproximação de funções), treinamento supervisionado (para cada vetor de entrada é apresentado o vetor de saída desejado) e algoritmo de aprendizado Backpropagation (BRAGA, 2000; DEMUTH, 1996; WASSERMAN, 1989). Conforme Santos (2004), a configuração adotada para a RNA é típica das aplicações desta tecnologia em sistemas elétricos de

(12)

(14)

potência. Todas as etapas envolvendo RNA foram implementadas no Matlab (Neural Network Toolbox) (DEMUTH, 1996).

5.2 Conjuntos de Treinamento Gerados com um Sistema Monofásico de Primeira Ordem

O sistema monofásico de primeira ordem utilizado para gerar os sinais de treinamento das RNA é mostrado na figura 5.1. Esse sistema consta da tensão da barra A alimentando uma carga através de uma resistência e uma indutância, representando a impedância série de seqüência positiva da linha de transmissão. Nesse modelo a condição de falta é simulada através do fechamento de uma chave K no instante t = 0.

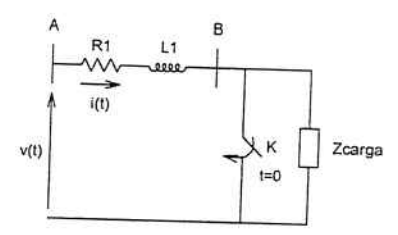


Figura 5.1 – Sistema monofásico de primeira ordem

As expressões 9 – 16, deduzidas a partir do sistema monofásico apresentado na figura 5.1, são utilizadas para gerar (já normalizados) os sinais referentes às possíveis condições operativas de uma linha de transmissão (SANTOS, 2004).

1- Condição de pré-falta

1a- Vetores de entrada para o treinamento das redes R e X.

$$\left\{ \bar{v}_{k} \right\} = \frac{\cos\left(\frac{2 \cdot \pi}{N} \cdot k + \theta\right)}{V_{base}}$$

$$\left\{ \bar{i}_{k} \right\} = \frac{\cos\left(\frac{2 \cdot \pi}{N} \cdot k + \theta - \phi\right)}{I_{base}}$$
(9)

The Veter do solds were at the second seco

1b- Vetor de saída para o treinamento da rede R e X

$$\overline{R} = \frac{\cos(\phi)}{Z_{base}}$$

$$\overline{X} = \frac{\sin(\phi)}{Z_{base}}$$
(11)

2- Condição de falta

2a- Vetores de entrada para o treinamento das redes R e X.

$$\begin{cases} \overline{V}_{k} \end{cases} = \frac{\cos\left(\frac{2 \cdot \pi}{N} \cdot k + \theta\right)}{V_{base}} \\
\left\{ \overline{V}_{k} \right\} = \frac{\left[-\cos(\theta - \beta)e^{-\alpha \cdot k \cdot \frac{T}{N}} + \cos\left(\frac{2 \cdot \pi}{N} \cdot k + \theta - \beta\right)\right]}{I}
\end{cases} \tag{13}$$

2b- Vetor de saída para o treinamento da rede R e X

$$\overline{R} = \frac{\cos(\beta)}{Z_{base}}$$

$$= -\sin(\beta)$$
(15)

$$\overline{X} = \frac{\operatorname{sen}(\beta)}{Z_{base}} \tag{15}$$

Uma vez fixada a taxa de amostragem (N) e o tamanho da janela de dados (k), decidiu-se pelo sorteio aleatório das seguintes variáveis: fator de potência da carga (φ); ângulo da tensão em que ocorre o defeito (θ); inverso da constante de tempo do sistema de primeira ordem (α); ângulo relativo aos parâmetros R¹ e X¹ da linha de transmissão (β). A cada novo sorteio dessas variáveis, nas expressões 9 – 12 (para os casos de pré-falta) e 13 – 16 (para os casos de falta), são calculados os valores das amostras de tensão e corrente (normalizados) que formam as janelas de dados (vetores de entrada das RNA), bem como, os valores de resistência e reatância (normalizados) associados a cada situação sorteada. Com essa medida acredita-se estar contemplando as mais (normalizados) associados a cada situação sorteada. Com essa medida acredita-se estar contemplando as mais variadas condições operativas (na forma de janela de dados) de um sistema monofásico de primeira ordem. Além variadas condições de pré-falta e falta com corrente negativa (expressões 10 e 14 multiplicadas por -1), correspondem às condições de pré-falta e falta com corrente negativa (expressões 10 e 14 multiplicadas por -1), representando uma situação de defeito no sentido oposto ao originalmente considerado. Essa inversão no sentido da corrente visa gerar situações operativas para compor um vetor de treinamento capaz de "ensinar" as RNA a discriminarem o sentido do defeito, possibilitando que o relé em questão possa ser instalado no final da linha de transmissão (barra B da figura 5.1) sem alteração desempenho.

Na fase final da rotina implementada para rodar as supracitadas expressões e gerar o conjunto de treinamento das RNA, todos os pares de vetores entrada/saída são normalizados, viabilizando o treinamento das RNA com sinais exatamente iguais àqueles que serão disponibilizados pela etapa de pré-processamento, apresentada no item 4.3.

5.3 Arquitetura e Parâmetros Utilizados no Processo de Treinamento

Neste trabalho várias configurações de rede e parâmetros de treinamento foram testadas, frente aos conjuntos de treinamento gerados no item 5.2. Na configuração final, os parâmetros de treinamento mais relevantes são:

Momentum = 0,9

Taxa de Aprendizado = 0,01

Erro desejado = 1.10⁻⁹

Número máximo de iterações = 500.000

Algoritmo de aprendizado = Backpropagation

Função de transferência utilizada em todos os neurônios = Tansig

É importante ressaltar que foram avaliadas RNA com janelas de dados de 4, 8, 12 e 16 amostras, obtidas a partir de uma taxa de amostragem de 16 amostras por ciclo (60 Hz). Também foi considerada uma RNA com janela de dados de 16 amostras, obtida a partir de uma taxa de amostragem de 32 amostras por ciclo (60 Hz). Os resultados obtidos no treinamento das RNA consideradas neste trabalho são apresentados nas tabelas 5.1 e 5.2.

Onde:

N = Taxa de Amostragem (Amostras / Ciclo);

M = Tamanho da Janela de Dados (Amostras);

E = Erro da Rede R ou X.

Arquitetura da RNA Neurônios / Camada		Arquitetura da RNA N M Neurônios / Camada		M	M E Rede R	Denominação da Rede
2 3	4					
17 6	1	16	4	1,9.10-7	Rede-16-4-r	
1-500		16	8	2,32.10-8	Rede-16-8-r	
33 6	1	16	O	- CANADA CARACTER CONTRACTOR CONT	Rede-16-12-r	
49 6	1	16	12	7,58.10-5	Rede-10-12-1	
		16	16	1,82.10-7	Rede-16-16-r	
2 65 6) 1	10	10		D 1 22 16 -	
2 65 8	3 1	32	16	6,42.10 ⁻⁵	Rede-32-16-r	

Tabela 5.1 - Características das RNA (rede R) submetidas ao processo de treinamento

Arquitetura da RNA Neurônios / Camada			Camada		M	E Rede X	Denominação da Rede
1	2	3	4				
8	17	6	1	16	4	8,89.10-8	Rede-16-4-x
16	33	6	1	16	8	1,72.10-9	Rede-16-8-x
24	49	6	1	16	12	6,05.10-5	Rede-16-12-x
32	65	6	1	16	16	7,2.10 ⁻⁷	Rede-16-16-x
32	65	8	1	32	16	2,95.10-5	Rede-32-16-x

Tabela 5.2 - Características das RNA (rede X) submetidas ao processo de treinamento

5.4 Validação das RNA

Antes das RNA serem avaliadas frente a um sistema elétrico modelado na íntegra, é realizada uma verificação (isolada) de desempenho destas redes, aqui denominada de teste de validação. A finalidade dessa medida é verificar se as RNA aprenderam durante o treinamento a estimar corretamente os valores de R e X.

5.4.1 Validação das RNA Frente a Sinais Aleatórios das Situações de Regime e Falta

Para a avaliação das RNA frente a sinais não pertencentes aos seus conjuntos de treinamento, são gerados sinais aleatórios representativos das condições de pré-falta e falta de uma linha de transmissão. Estes sinais (já normalizados), no formato de janela de dados de tensão e corrente, com número de amostras e taxas de amostragem adequadas, são agrupados para formar os vetores de entrada das RNA. Para cada vetor de entrada, os valores de resistência e reatância são previamente calculados, possibilitando a comparação entre estes e os valores de resistência e reatância emitidos pelas RNA. É importante ressaltar que os sinais gerados são baseados num sistema de primeira ordem (figura 5.1), não contemplando, portanto, as situações de ondas trafegantes. Os resultados da validação das redes R e X são apresentados na tabela 5.3.

16 amostras	s/ciclo – 1ª ordem	Pré-Falta	Falta
Janela de Dados	Resistência	1492	1446
4 amostras	Rede-16-4-r	8	54
	Reatância	1498	1490
	Rede-16-4-x	2	10
Janela de Dados	Resistência	1500	1486
8 amostras	Rede-16-8-r	0	14
	Reatância	1498	1500
	Rede-16-8-x	2	0
Janela de Dados	Resistência	1279	1037
12 amostras	Rede-16-12-r	221	463
	Reatância	1275	1304
	Rede-16-12-x	225	196 ⁽¹⁾
Janela de Dados	Resistência	1479	1470
16 amostras	Rede-16-16-r	21	30
	Reatância	1452	1500
	Rede-16-16-x	48	0
32 amostras	/ciclo – 1* Ordem	Pré-Falta	Falta
Janela de Dados	Resistência	1364	1047
16 amostras	Rede-32-16-r	136	453
The control of the state of the control of the cont	Reatância	1356	1301
	Rede-32-16-x	144	199

Tabela 5.3 - Resultados da avaliação das RNA

É importante destacar que cada rede foi submetida a 1500 casos de pré-falta e 1500 casos de falta, sendo o número em destaque na tabela 5.3, a quantidade de vezes que a RNA calculou a impedância com um erro absoluto não superior a 3%. Ressalta-se nesta avaliação um fato de extrema relevância, que corresponde à capacidade das RNA filtrarem a componente exponencial (casos de falta), respondendo corretamente quando há ou não componente aperiódica no sinal de entrada.

6. ESTUDO COMPARATIVO DAS REDES NEURAIS ARTIFICIAIS

Neste item o algoritmo proposto será implementado com as RNA avaliadas no item anterior. Como foi verificado, tais redes foram treinadas com sinais provenientes de uma linha monofásica, representada através de um modelo de primeira ordem, e obtiveram elevados índices de acertos (tabela 5.3), frente a sinais representativos das condições de pré-falta e falta, neste modelo simplificado. Dessa forma, resta avaliar as referidas redes frente às condições reais de operação de uma linha de transmissão trifásica, possibilitando, inclusive, verificar a reação dessas redes frente às situações de defeito que resultam em ondas trafegantes, situações estas não contempladas no processo de treinamento das RNA. Portanto, com essa medida, torna-se possível avaliar qual das RNA é a mais apropriada para a implementação do algoritmo proposto. Entende-se por "rede mais apropriada" aquela capaz de propiciar que o algoritmo proposto responda satisfatoriamente (boa precisão e baixo tempo de *trip*) a todas as situações operativas geradas – apresentadas em Santos (2004).

Para viabilizar a geração das situações operativas das linhas de transmissão adotadas neste trabalho, foram utilizados os softwares ATP (*Line Constants* – para a determinação dos parâmetros de sequência dos sistemas de transmissão adotados) e Simulink (*Power System Toolbox* - para a simulação dos sistemas adotados).

6.1 Sistemas Elétricos Adotados neste Estudo

Para efeito de teste e validação do algoritmo proposto, este deve ser submetido às mais variadas situações operativas de uma linha de transmissão. Um requisito importante para viabilizar a implementação prática desse algoritmo é que as situações operativas simuladas sejam referentes a sistemas de transmissão reais. Dessa forma, foram adotados sistemas que abrangem os níveis de tensão de transmissão mais usuais na prática (138 kV, 230 kV, 345 kV, 500 kV e 765 kV), bem como possuem comprimentos e capacidades de transferência de potência coerentes com tais níveis de tensão. Os dados referentes a tais sistemas foram obtidos junto a ONS.

6.2 Situações Operativas do Sistema Elétrico

Neste item são consideradas cinco alternativas para o algoritmo proposto, diferenciando uma da outra em termos da RNA utilizada no mesmo, ou seja, cada alternativa é implementada com uma das redes apresentadas no item 5.3. Essas cinco alternativas são testadas frente a doze situações operativas do sistema elétrico, conforme a tabela 6.1. Considerando-se os cinco níveis de tensão adotados neste trabalho e as cinco RNA em teste, chegou-se a um universo de trezentos casos simulados. A partir desses casos é realizado um estudo da influência da taxa de amostragem e da janela de dados no desempenho do algoritmo, possibilitando determinar qual é a RNA mais adequada para a implementação do mesmo.

Caso	Zth (%)	Local da Falta (p.u.)	Rfalta (Ω)	Teta	Tipo de Curto
1	100	0,2	0	0	A-T
2	100	0,2	0	0	AB-T
3	100	0,2	0	0	AB
4	100	0,2	0	0	ABC
5	30	0,5	10	45	A-T
6	30	0,5	10	45	AB-T
7	30	0,5	0	45	AB
8	30	0,5	0	45	ABC
9	120	0,8	20	90	A-T
10	120	0,8	20	90	AB-T
11	120	0,8	0	90	AB
12	120	0,8	0	90	ABC

Tabela 6.1 - Casos utilizados para a avaliação das alternativas de algoritmo

É importante ressaltar que a avaliação dos algoritmos (cada um implementado com uma das RNA apresentadas, perfazendo um total de cinco alternativas de algoritmos) consiste na observação de dois indicadores principais, que são:

Ttrip: Tempo para gerar o sinal de trip

O sinal de *trip* é gerado quando o algoritmo emite três respostas consecutivas (valores de R e X) no interior da primeira zona de proteção do relé. A zona de proteção em questão, no presente trabalho, foi ajustada para proteger 85% da linha de transmissão, e apresenta característica Mho.

Testab: Tempo de estabilização

O tempo de estabilização é alcançado quando o algoritmo passa a emitir respostas sucessivas com um erro menor do que 5%. Esse erro é medido com relação ao valor correto da impedância de falta, previamente conhecido.

6.3 Desempenho do Algoritmo Implementado com as RNA Consideradas

Após todas as alternativas de algoritmo serem submetidas a situações operativas de uma linha de transmissão (vide tabela 6.1) operando em cada um dos níveis de tensão citados anteriormente, as tabelas 6.2 e 6.3 apresentam os tempos médios de estabilização e *trip* obtidos. É importante observar que os resultados obtidos para cada alternativa de algoritmo foram levantados frente a 60 casos de operação do sistema elétrico (12 situações operativas x 5 níveis de tensão).

Nível de Tensão (kV)	Rede-16-4	Rede-16-8	Rede-16-12	Rede-16-16	Rede-32-16
138	7,45	7,81	11,00	14,00	8,72
230	7,27	7,99	9,72	12,99	8,54
345	12,73	12,82	13,72	17,63	10,55
500	9,17	11,54	9,27	12,00	7,63
765	8,63	10,18	9,95	15,00	8,04
Tempo médio total	9,05	10,07	10,73	14,32	8,69

Tabela 6.2 - Tempo médio de trip em cada nível de tensão (ms)

Nível de Tensão (kV)	Rede-16-4	Rede-16-8	Rede-16-12	Rede-16-16	Rede-32-16
138	9,75	13,50	16,50	17,00	12,70
230	17,67	26,40	19,30	21,91	15,91
345	40,33	39,40	32,67	27,08	17,00
500	16,41	18,33	61,16	20,75	35,08
765	36,58	28,75	52,00	22,91	39,25
Tempo médio total	24,15	25,28	36,32	21,93	23,99

Tabela 6.3 - Tempo médio de estabilização em cada nível de tensão (ms)

Em função dos tempos médios apresentados nas tabelas 6.2 e 6.3, e de uma análise detalhada de cada caso simulado, apresentada em Santos (2004), a Rede-32-16 foi considerada a melhor alternativa para a implementação do algoritmo proposto. Sendo assim, no próximo item tal alternativa será comparada com um algoritmo convencional (Fourier) para a proteção de distância de linhas de transmissão (SENGER, 1998).

7. COMPARAÇÃO ENTRE OS ALGORITMOS PROPOSTO E CONVENCIONAL

Neste item é realizada uma comparação entre o algoritmo selecionado no item anterior (Rede-32-16), e um algoritmo convencional utilizado na proteção de distância - Algoritmo de Fourier. Esta comparação consta da análise das respostas de cada um desses algoritmos, frente a 96 simulações de possíveis condições operativas das linhas de transmissão consideradas no presente estudo (itens 6.1 e 6.2), em cada um dos níveis de tensão adotados. Considerando os cinco níveis de tensão adotados, cada algoritmo responderá a 480 possíveis situações operativas, cujos detalhes são discutidos em Santos (2004).

Os resultados obtidos pelos algoritmos em cada nível de tensão são apresentados nas tabelas 7.1, 7.2, 7.3, 7.4 e 7.5, que contém os tempos de estabilização e *trip* (milissegundos - ms) dos 96 casos simulados, formados através de 32 situações operativas da linha de transmissão para três comprimentos diferentes. Nas

referidas tabelas os números entre parânteses correspondem, em termos percentuais, a quantidade de vezes em que o algoritmo baseado em RNA gerou o sinal de *trip* ou estabilizou primeiro do que o algoritmo convencional.

	Algoritmo	Comprimento da Linha de Transmissão – 138 kV						
Tempo		5	0 km		74 km	1	50 km	
RN	RNA	12,28	(94%)	13,65	(97%)	12,17	(100%)	
Testab	Fourier	17,97		18,75		18,12		
	RNA	06,88	(97%)	08,16	(100%)	06,90	(100%)	
Ttrip	Fourier	14,20		15,63		13,7		

Tabela 7.1 - Tempos médios (ms) de estabilização e trip em 138 kV - RNA x Fourier

		Comprimento da Linha de Transmissão – 230 kV						
Tempo	Algoritmo	80 1	cm	10	00 km	20	00 km	
	RNA	17,28 ((72%)	17,04	(72%)	14,05	(88%)	
Testab	Fourier	17,22		17,18		17,59		
	RNA	09,00	(93%)	08,83	(93%)	07,90	(87%)	
Ttrip	Fourier	13,30		13,03		12,67		

Tabela 7.2 – Tempos médios (ms) de estabilização e trip em 230 kV – RNA x Fourier

		Comprimento da Linha de Transmissão - 345 kV						
Tempo	Algoritmo	100 km	145 km	300 km				
	RNA	17,15 (75%)	17,57 (69%)	18,46 (72%)				
Testab	Fourier	19,50	18,30	18,53				
	RNA	11,40 (100%)	10,55 (100%)	09,75 (100%)				
Ttrip	Fourier	16,70	16,20	15,40				

Tabela 7.3 - Tempos médios (ms) de estabilização e trip em 345 kV - RNA x Fourier

		Comprimento da Linha de Transmissão - 500 k						
Tempo	Algoritmo	1	81 km	30	00 km	40	00 km	
RNA	RNA	36,85	(41%)	35,03	(47%)	44,42	(38%)	
Testab	Fourier	16,93		17,00		16,93		
	RNA	07,60	(97%)	06,77	(97%)	06,17	(97%)	
Ttrip	Fourier	13,06		12,43		12,56		

Tabela 7.4 - Tempos médios (ms) de estabilização e trip em 500 kV - RNA x Fourier

	Algoritmo	Comprimento da Linha de Transmissão – 765 kV						
Tempo		265 km	350 km	500 km				
	RNA	36,70 (41%)	35,54 (38%)	41,48 (44%)				
Testab	Fourier	17,65	17,59	20,53				
	RNA	07,01 (100%)	06,75 (97%)	07,40 (87%)				
Ttrip	Fourier	13,46	13,10	12,93				

Tabela 7.5 - Tempos médios (ms) de estabilização e trip em 765 kV - RNA x Fourier

8. CONCLUSÕES

Este trabalho teve como principal contribuição o desenvolvimento de uma proteção de distância genérica baseada em RNA, ou seja, iniciar uma caminhada em direção a uma utilização mais prática dessa poderosa ferramenta, desvinculando os dispositivos de proteção baseados nessa filosofia da aplicação a uma única linha de transmissão. Para alcançar tal objetivo, no presente estudo, foram desenvolvidos esquemas e procedimentos específicos, que constituem etapas de extrema relevância nesta pesquisa. Tais etapas são relatadas a seguir e, posteriormente, discutidas isoladamente, devido à importância de cada uma delas na contribuição final do algoritmo proposto.

- Esquema de pré-processamento desenvolvido para o algoritmo proposto;
- 2- Metodologia de treinamento das RNA;
- 3- Metodologia de validação das RNA;
- 4- Estudo comparativo entre as cinco alternativas de algoritmos consideradas.

Após as conclusões parciais, referentes a cada etapa supracitada, será apresentada a conclusão global do trabalho, abordando os pontos marcantes do algoritmo proposto, com relação às situações operativas reais impostas ao mesmo.

Sobre o esquema de pré-processamento, considerado uma contribuição deste trabalho, ressalta-se que este possibilita um adequado funcionamento do algoritmo proposto, independentemente do nível de tensão da linha de transmissão protegida. Isso é possível através de RNA previamente treinadas para estimarem a resistência e a reatância (seqüência positiva) de uma linha de transmissão, a partir de janelas de dados com amostras de tensão e corrente devidamente processadas. Conforme os testes de validação das RNA, apresentados na tabela 5.3, o esquema de pré-processamento é bastante eficaz, para sinais gerados a partir de um sistema monofásico de primeira ordem.

Com relação à metodologia de treinamento das RNA, em se tratando de tempo e desempenho de treinamento, obteve-se um elevado ganho com o procedimento adotado neste trabalho. Tal ganho é obtido porque as RNA utilizadas nos elementos de medição do algoritmo proposto são treinadas a partir de sinais provenientes de um sistema monofásico de primeira ordem, o que é possível devido ao esquema de préprocessamento discutido anteriormente. Já no processo de treinamento convencional, as RNA devem ser treinadas com sinais provenientes dos locais onde estas redes serão utilizadas na fase pós treinamento. Visto que esses sinais são de maior complexidade, pois foram extraídos de sistemas trifásicos, tanto o desempenho, como o tempo de treinamento das RNA, tendem a serem afetados negativamente.

A terceira conclusão parcial diz respeito à rotina elaborada para efetuar um rápido teste de generalização das RNA treinadas a partir de um sistema monofásico de primeira ordem. Este teste também evita que seja necessária a submissão da RNA a um sistema modelado na íntegra, o que despenderia um tempo elevado para validar a rede, frente a um número razoável de situações operativas. Portanto, como solução prévia para a validação da RNA, foi elaborada uma rotina que gera sinais referentes às diversas condições operativas de um sistema de primeira ordem. Através dos resultados emitidos pela RNA, para tais sinais, é possível verificar a qualidade do treinamento desta, seja qual for a taxa de amostragem ou o tamanho da janela de dados com que a mesma foi treinada. Tal método indica rapidamente se a RNA "aprendeu" a estimar a resistência ou a reatância em função das amostras de tensão e corrente contidas nos seus vetores de entrada, contenham estas amostras os efeitos da componente aperiódica, ou não. O sucesso nesta etapa habilita a RNA a ser, posteriormente, avaliada frente a situações reais de sistemas trifásicos.

Finalizando as conclusões parciais, salienta-se a importância do estudo realizado para determinar qual é a melhor alternativa de algoritmo para compor uma proteção de distância genérica baseada em RNA. Tal estudo constou da avaliação do algoritmo proposto implementado com cinco alternativas diferentes de RNA, onde cada alternativa possui tamanho de janela de dados ou taxa de amostragem diferentes. Todas as alternativas de algoritmo foram submetidas a inúmeras situações operativas de linhas de transmissão operando em diversos níveis de tensão. Considerando os tempos médios de estabilização e *trip*, segundo os critérios adotados, a alternativa Rede-32-16 se apresentou como a mais adequada para compor o algoritmo de proteção proposto neste trabalho, visto que a mesma atende satisfatoriamente às expectativas de tempo em todos os níveis de tensão.

Uma vez apresentadas as considerações e conclusões parciais, iniciam-se as ponderações sobre os pontos marcantes e as conclusões do presente trabalho. Portanto, as colocações a seguir são efetuadas num âmbito global, ou seja, através da análise dos resultados obtidos com o algoritmo desenvolvido (testado no item 7) e dos resultados esperados do algoritmo idealizado inicialmente.

Como exposto oportunamente, o algoritmo idealizado possui a capacidade de ser genérico, podendo, apesar de ser implementado com RNA, proteger qualquer linha de transmissão, independentemente do seu nível de tensão ou comprimento. Essa importante característica do algoritmo proposto (ser genérico) conduz a uma conclusão em duas etapas: a-) capacidade do algoritmo responder adequadamente (com as medidas de R e X), independentemente do nível de tensão da linha de transmissão protegida; b-) aplicação prática do algoritmo

proposto, considerando os tempos de estabilização e *trip* do mesmo, com respeito às necessidades das linhas de transmissão.

Com relação à primeira colocação (generalidade do algoritmo desenvolvido), constatou-se que o esquema de pré-processamento torna genérica qualquer uma das alternativas de algoritmo implementadas neste trabalho, independentemente da taxa de amostragem adotada ou do tamanho da janela de dados.

Com relação aos tempos de estabilização e *trip* do algoritmo proposto, pode-se dizer que, incondicionalmente, este leva vantagem com relação ao algoritmo convencional até o nível de 345 kV. Entretanto, para os casos de 500 kV e 765 kV, o desempenho do algoritmo convencional é nitidamente superior ao do algoritmo proposto, quando se trata de tempo de estabilização. Já com relação aos tempos de *trip*, mesmo nesses níveis de tensão, o algoritmo proposto possui atuação mais rápida, levando vantagem sobre o algoritmo convencional.

LISTA DE REFERÊNCIAS

BLACKBURN, J.L. Protective Relaying - Principles and Applications. 2.ed., New York, Marcel Dekker, Inc, 1998.

BRAGA, A.P.; LUDERMIR, T.B.; CARVALHO, A.C.P.L.F. Redes Neurais Artificiais – Teoria e Aplicação. Rio de Janeiro, LTC, 2000.

DEMUTH, H.; BEALE, M. Neural Network Toolbox - For Use With Matlab. 3.ed., The Math Works, Inc, 1994.

HAYKIN, S. Neural Networks - A comprehensive Foundation. USA, Prentice-Hall, Inc, 1994.

HOROWITZ, S.H.; PHADKE, A.G. Power System Relaying. 2.ed., England, Research Studies Press, 1996.

KOVÁCS, Z.L. Redes Neurais Artificiais. Fundamentos e Aplicações. São Paulo, Edição Acadêmica, 1996 (Universidade de São Paulo).

LOONEY, C.G. Patter Recognition Using Neural Networks - Theory and Algorithms for Engineers and Scientists. New York, Oxford University Press, 1997.

MASON, C.R. The Art & Science of Protective Relaying. General Electric, 1956.

SANTOS, R.C.; SENGER, E.C. Algoritmo Baseado em Redes Neurais Artificiais para a Proteção de Distância de Linhas de Transmissão. Tese de Doutorado, EPUSP, 2004.

SENGER, E.C.; SANTANA, N.N. "Pré-Filtragem da Componente Aperiódica Exponencial para os Algoritmos Utilizados em Relés de Distância". Seminário Técnico de Proteção e Controle – STPC. Natal, 1998.

STEVENSON JR., W.D. Elementos de Análise de Sistemas de Potência. 2.ed., Rio de Janeiro, McGraw-Hill do Brasil, 1986.

WASSERMAN, P.D. Neural Computing - Theory and Practice. New York, Van Nostrand Reinhold, 1989.

- BT/PEA/9301 Alguns Aspectos do Problema de Planejamento de Sistemas de Transmissão sob Incertezas CARLOS MARCIO VIEIRA TAHAN, ERNESTO JOÃO ROBBA
- BT/PEA/9302 Vibrações em Motores Elétricos Provocadas por Forças Magnéticas ORLANDO SILVIO LOBOSCO , HENRIQUE PRADO ALVAREZ
- BT/PEA/9303 Corrente Contínua em Alta Tensão: Aplicação de Equipamentos Elétricos e Modelos para Análises de Confiabilidade LINEU BELICO DOS REIS
- BT/PEA/9504 Automação e Informatização Aplicadas a Controle e Supervisão de Processos de Pesagem EVALDO ARAGÃO FARQUI, EDUÁRDO MÁRIO DIAS
- BT/PEA/9505 Modernização e Reabilitação de Usinas Hidrelétricas DJALMA CASELATO, ADERBAL DE ARRUDA PENTEADO JR
- BT/PEA/9506 Estudo do Campo Elétrico Provocado por Linhas de Transmissão em Corrente Alternada CELSO PEREIRA BRAZ, JOSÉ ANTONIO JARDINI
- BT/PEA/9507 Aspectos Sobre Processos Automatizados de Pesagem Rodoferroviária: Uma Proposta de Modernização de Postos em Operação SERGIO LUIZ PEREIRA, CÍCERO COUTO DE MORAES
- BT/PEA/9508 Usinas Hidrelétricas em Rotação Ajustável: Novas Premissas para o Planejamento Energético MARCO ANTONIO SAIDEL, LINEU BELICO DOS REIS
- BT/PEA/9509 Desenvolvimento de um Sistema de Automação de Subestações pela integração de Módulos de Software e Hardware Existentes no Mercado Brasileiro L. C. MAGRINI, J. A. JARDINI, S. COPELIOVITCH, N. KABA FILHO
- BT/PEA/9510 Proposta de um Modelo para Estudos de Aplicação de Compensadores Estáticos em Sistemas de Potência JOSÉ TOSHIYUKI HONDA, LUIS CERA ZANETTA JÚNIOR
- BT/PEA/9511 Metodologia e Testes para Redução das Distâncias Elétricas entre Fases de Barramentos de Subestações de 138kV Abrigadas, ANDRÉ NUNES SOUZA, ORLANDO SILVIO LOBOSCO
- BT/PEA/9512 Avaliação da Severidade da Poluição para o Dimensionamento da Isolação das Redes Elétricas ARNALDO G. KANASHIRO, GERALDO F. BURANI
- BT/PEA/9513 Processos Auto-Adaptativos para Cálculo de Campos Eletromagnéticos pelo Método dos Elementos Finitos LUIZ LEBENSZTAJN, JOSÉ ROBERTO CARDOSO
- BT/PEA/9514 Investigação Experimental sobre os Arcos Sustentados em Sistemas Elétricos de Baixa Tensão FRANCISCO H. KAMEYAMA, GERALDO F. BURANI
- BT/PEA/9515 Fast Voltage Compensation: A Mean to Improve the Quality of Energy Supply H. ARANGO, JOSÉ ANTONIO JARDINI
- BT/PEA/9516 Modelo Avançado para Planejamento de Sistemas Energéticos Integrados Usando Recursos Renováveis LUIZ ANTONIO ROSSI, LINEU BELICO DOS REIS
- BT/PEA/9601 Metodologias para Planejamento de Sistemas de Distribuição: Estado-da-Arte e Aplicações PAULO ROBERTO NJAIM, CARLOS MARCIO VIEIRA TAHAN
- BT/PEA/9602 Integração de Relés Digitais em Sistemas de Automação de Subestação JERÔNIMO CAMILO SOARES JR., JOSÉ Á. JARDINI, LUIZ C. MAGRINI
- BT/PEA/9603 Paradigma de Planejamento sob Incertezas Aplicação ao Planejamento dos Sistemas de Distribuição de Energia Elétrica - ALBERTO BIANCHI JUNIOR, LINEU BELICO DOS REIS
- BT/PEA/9604 Um Sistema de Controle de Velocidade para Motor de Indução Trifásico CELSO KAZUMI NAKAHARADA, ADERBAL DE ARRUDA PENTEADO JR.
- BT/PEA/9605 Controle Vetorial de Motores de Indução, Independente das Alterações de Parâmetros da Máquina NERY DE OLIVEIRA JÚNIOR, WALDIR PÓ
- BT/PEA/9606 Compactação de Subestações de 145 kV Através da Redução das Distâncias entre Fases GERVASIO LUIZ DE CASTRO NETO, ORLANDO SILVIO LOBOSCO
- BT/PEA/9607 Curvas de Carga de Consumidores Industriais Agregação com Outras Cargas RONALDO PEDRO CASOLARI, JOSÉ ANTONIO JARDINI
- BT/PEA/9608 Utilização de Curvas de Carga de Consumidores Residenciais Medidas para Determinação de Diversidade de Carga, e Carregamento de Transformadores de Distribuição EDUARDO LUIZ FERRARI, JOSÉ ANTONIO JARDINI
- BT/PEA/9609 Comportamento Elétrico de Cabos Cobertos e Pré-Reunidos pelo Método dos Elementos Finitos JOÃO JOSÉ DOS SANTOS OLIVEIRA, JOSÉ ROBERTO CARDOSO
- BT/PEA/9701 Repotenciação de Hidrogeradores: Uma Proposta de Metodologia de Análise e Implantação FÁBIO SALOMÃO FERNANDES SÁ, ADERBAL DE ARRUDA PENTEADO JR.

- BT/PEA/9702 Desenvolvimento de um Sistema de Automação para um Sistema de Automação para um Centro de Operação da Distribuíção - PAULO SÉRGIO MIGUEL SURUR, JOSÉ ANTONIO JARDINI
- BT/PEA/9703 Planejamento da Expansão do Sistema de Distribuição Utilizando Programação Matemática Probabilistica MARIÂNGELA DE CARVALHO BOVOLATO, NELSON KAGAN
- BT/PEA/9704 Técnicas de Inteligência Artificial Aplicadas ao Problema de Planejamento da Expansão do Sistema de Distribuição de Energia Elétrica SALETE MARIA FRÓES, NELSON KAGAN
- BT/PEA/9705 Aproveitamento Funcional de Sistemas de Controle e Proteção Digitais em Subestações de Distribuição JOSÉ LUIZ PEREIRA BRITTES, JOSÉ ANTONIO JARDINI
- BT/PEA/9706 Avaliação de Algoritimo para Proteção Diferencial de Transformadores LUÍS SÉRGIO PIOVESAN, EDUARDO CÉSAR SENGER
- BT/PEA/9707 Sistema de Proteção para Faltas de Alta Impedância CAIUS VINICIUS SAMPAIO MALAGODI, EDUARDO CÉSAR SENGER
- BT/PEA/9708 Um Ambiente para Planejamento da Operação de Sistemas de Distribuição de Energia Elétrica KLEBER HASHIMOTO, NELSON KAGAN
- BT/PEA/9709 Análise do Custo Beneficio da Instalação de Equipamentos de Proteção em Redes Aéreas de Distribuição ANTONIO CLAUDINEI SIMÕES, JOSÉ ANTONIO JARDINI
- BT/PEA/9710 Planejamento Integrado de Recursos Energéticos PIR para o Setor Elétrico MIGUEL EDGAR MORALES UDAETA, LINEU BELICO DOS REIS
- BT/PEA/9711 Análise de Defeitos no Motor de Indução Trifásico para Predição de Falhas Incipientes JOSÉ ANTONIO URCIA MISARI, CÍCERO COUTO DE MORAES
- BT/PEA/9712 Gerenciamento de Transformadores de Distribuição com Análise na Perda de Vida CARLOS MÁRCIO VIEIRA TAHAN, VLADIMIR DUARTE BELCHIOR
- BT/PEA/9713 Uma Nova Metodologia para a Avaliação de Sistemas de Aterramento Metro-Ferroviários JOSÉ AUGUSTO PEREIRA DA SILVA, JOSÉ ROBERTO CARDOSO
- BT/PEA/9714 Um Exemplo de Decomposição de Fluxos em Transformadores NICOLAU IVANOV, LUIZ CERA ZANETTA JR.
- BT/PEA/9715 Custos de Transporte de Energia Elétrica Análise de Metodologias DÁRIO TAKAHATA, CARLOS MÁRCIO VIEIRA TAHAN
- BT/PEA/9716 Bancada de Ensaios para a Avaliar o Comportamento de Acionamentos Controlados por Inversores PWM JOSÉ ANTONIO CORTEZ, ADERBAL DE ARRUDA PENTEADO JR.
- BT/PEA/9717 Integração de Técnicas de Diagnóstico de Falhas em Motores de Indução Trifásicos ao Sistema de Gerenciamento da Manutenção Industrial JOSÉ A. URCIA MISARI, CICERO COUTO DE MORAES
- BT/PEA/9801 Análise de Confiabilidade para Gerenciamento Operacional de Sistemas Automatizados de Pesagem Rodo-Ferroviária - RUBENS LOPES ROLIM, CÍCERO COUTO DE MORAES
- BT/PEA/9802 Projeto de um Ondulador Híbrido e Estudo de Onduladores Derivados de Solenóide, para Utilização em Laser a Elétrons Livres FRANCISCO SIRCILLI NETO
- BT/PEA/9803 Configuração de Redes de Distribuição de Energia Elétrica com Múltiplos Objetivos e Incertezas através de Procedimentos Heurísticos CARLOS C. BARIONI DE OLIVEIRA, NELSON KAGAN
- BT/PEA/9804 Conceituação e Aplicação de Metodologia de Gerenciamento pelo Lado da Demanda em uma Empresa Distribuidora de Energia Elétrica FERNANDO MONTEIRO DE FIGUEIREDO, JOSÉ ANTÔNIO JARDINI
- BT/PEA/9805 Acoplamento Circuito Elétrico Método dos Elementos Finitos em Regime Transitório Utilizando a Metodologia de Dommel NANCY MIEKO ABE, JOSÉ ROBERTO CARDOSO
- BT/PEA/9806 Modelo de Arco Elétrico Aplicado ao Estudo da Interrupção da Corrente em Disjuntores de Média Tensão LUCILIUS CARLOS PINTO, LUIZ CERA ZANETTA JR.
- BT/PEA/9807 Proteção para Falta de Alta Impedância Utilizando o Sistema de Rádio Troncalizado MARCO ANTONIO BRITO, EDUARDO CESAR SENGER
- BT/PEA/9808 Contribuição ao Estudo e Projeto dos Motores Síncronos de Relutância IVAN EDUARDO CHABU, JOSÉ ROBERTO CARDOSO
- BT/PEA/9809 Cabos Cobertos: Metodologia para a Determinação da Espessura da Cobertura ANTONIO PAULO DA CUNHA, JOSÉ ANTÔNIO JARDINI
- BT/PEA/9810 Eletrificação Rural Avaliações em São Paulo MARCELO APARECIDO PELEGRINI, FERNANDO SELLES RIBEIRO
- BT/PEA/9811 Política de Eletrificação Rural em São Paulo LUIZ HENRIQUE ALVES PAZZINI, FERNANDO SELLES RIBEIRO
- BT/PEA/9812 Uso Racional e Eficiente de Energia Elétrica: Metodologia para a Determinação dos Potenciais de Conservação dos Usos Finais em Instalações de Ensino e Similares ANDRÉ LUIZ MONTEIRO ALVAREZ, MARCO ANTONIO SAIDEL
- BT/PEA/9813 Diretrizes para a Regulação da Distribuição de Energia Elétrica JAMES S. S. CORREIA, LINEU BELLICO DOS REIS

- BT/PEA/9814 Distribuição da Tensão de Impulso em Enrolamentos de Transformadores de Distribuição PEDRO LUÍS SANTUCCI DE MENDONÇA, AUGUSTO FERREIRA BRANDÃO JÚNIOR
- BT/PEA/9815 Estudo Comparativo entre os Diversos Métodos de Determinação do Rendimento de Motores de Indução FRANCISCO ANTONIO MARINO SALOTTI, ORLANDO SILVIO LOBOSCO
- BT/PEA/9816 A Nodal Analysis Approach Applied to Electric Circuits Coupling in Magnetodynamic 2D FEM MAURÍCIO CALDORA COSTA, JOSÉ ROBERTO CARDOSO
- BT/PEA/9817 Informatização e Automação dos Órgãos Gestores de Mão de Obra EDUARDO MARIO DIAS, CÍCERO COUTO DE MORAES
- BT/PEA/9818 Freqüência de Ocorrência de Sobretensões Originárias de Descargas Atmosféricas em Linhas de Distribuição NELSON MASSAKAZU MATSUO, LUIZ CERA ZANETA JR.
- BT/PEA/9819 Um Método de Imposição de Pólos no Estudo da Estabilidade de Redes Elétricas a Pequenas Perturbações PERCIVAL BUENO DE ARAUJO, LUIZ CERA ZANETTA JR.
- BT/PEA/9820 Inter-Relação do Planejamento Agregado de Investimentos com o Planejamento Localizado de Sistemas de Distribuição de Energia Elétrica JUCEMAR SALVADOR SIMÕES, NELSON KAGAN
- BT/PEA/9821 A Produção de Energia Através das Células de Combustível JOSÉ LUIZ PIMENTA PINHEIRO, LINUE BELICO DOS REIS
- BT/PEA/9822 Automação de Processos Revisão e Tendências SERGIO LUIZ PEREIRA
- BT/PEA/9823 Metodologia para Seleção e Gerenciamento de Transformadores e Distribuição, Aplicando Técnicas de Redes Neutrais Artificiais SE UN AHN, JOSÉ ANTONIO JARDINI
- BT/PEA/9901 Contribuição ao Modelamento e Simulação de Motores em Ímãs Permanentes e Comutação Eletrônica de Alta Rotação WANDERLEI MARINHO DA SILVA, CLOVIS GOLDEMBERG
- BT/PEA/9902 Estudos de Sistemas de Potência e Automação: Plantas Industriais de Grande Porte MAURÍCIO G. M. JARDINI, JOSÉ A. JARDINI
- BT/PEA/9903 Synchronous Machines Parameters Identification Using Load Reejection Test Data E. C. BORTONI, J. A. JARDINI
- BT/PEA/9904 Indentificação de Locais e Opções Tecnológicas para Implantação de Termoelétricas no Sistema Elétrico Brasileiro: Contribuição ao Estado da Arte e Aplicação ao Caso do Gás Natural ELIANA APARECIDA FARIA AMARAL FADIGAS, LINEU BELICO DOS REIS
- BT/PEA/9905 Sistema de Manutenção Preventiva de Subestações: Uma Abordagem Semântica para o Monitoramento Integrado ELIAS ROMA NETO, ADERBAL DE ARRUDA PENTEADO JR.
- BT/PEA/9906 Previsão das Perdas Magnéticas na Presença de Harmônicos MARCELO S. LANCAROTTE, ADERBAL DE ARRUDA PENTEADO JR.
- BT/PEA/9907 Comportamento do Aterramento de Sistemas e Equipamentos de Distribuição sob Impulso CLEVERSON LUIZ DA SILVA PINTO, ADERBAL DE ARRUDA PENTEADO JR.
- BT/PEA/9908 Modelo de Sistema de Supervisão e Controle Operacional de Terminais de Contêineres LEVI SALVI, EDUARDO MARIO DIAS
- BT/PEA/9909 Medição de Altas Correntes em Frequência Industrial: Instrumentação, Dispositivos de Medição e Calibrações HÉLIO EIJI SUETA, GERALDO FRANCISCO BURANI
- BT/PEA/9910 Conversores Auto-Comutados Aplicados em Derivações de Sistemas de Transmissão de Corrente Continua e Alta Tensão WILSON KOMATSU, WALTER KAISER
- BT/PEA/9911 Análise de Desempenho de Sistemas de Aterramento em Alta Freqüência pelo Método dos Elementos Finitos ANGELO PASSARO, JOSÉ ROBERTO CARDOSO, VIVIANE CRISTINE SILVA
- BT/PEA/9912 Simulação de Motores "Shaded Pole": Uma Nova Abordagem Analítico-Numérica PASCHOAL SPINA NETO, SÍLVIO IKUO NABETA, JOSÉ ROBERTO CARDOSO
- BT/PEA/9913 Estimadores de Estado para Sistemas de Potência: Análise do Estado da Arte CLEBER ROBERTO GUIRELLI, JOSÉ ANTONIO JARDINI
- BT/PEA/9914 Análise sobre o Comportamento de Sistemas de Proteção Contra Descargas Atmosféricas Utilizando o Método dos Elementos Finitos SEBASTIÃO C. GUIMARÃES JR., LUCIANO MARTINS NETO, JOSÉ ROBERTO CARDOSO
- BT/PEA/9915 Automatização do Atendimento a Reclamações de Interrupção de Energia Elétrica H. K. Kiyohara, L. C. Magrini, E. P. PARENTE, JOSÉ ANTONIO JARDINI
- BT/PEA/9916 Controle Digital de Tensão e Reativos PAULA S. D. KAYANO, LUIZ CARLOS MAGRINI, LINEU BELICO DOS REIS, ANTONIO JOSÉ GOMES CARMO, ELIAS DE SOUZA NETO
- BT/PEA/9917 Localizadores Digitais de Faltas em Linhas de Transmissão CARLOS EDUARDO DE MORAIS PEREIRA, LUIZ CERA ZANETTA JR.
- BT/PEA/9918 Religamento Monopolar em Linhas de Transmissão Propostas de Uma Ferramenta para Investigações Paramétricas IVANIL POMPEU, LUIZ CERA ZANETTA JR.
- BT/PEA/9919 Viabilidade Técnica de Abertura Monopolar Permanente em Linhas de Transmissão Extra Alta Tensão FABIANA AP. DE TOLEDO SILVA, JOSÉ ANTONIO JARDINI

- BT/PEA/9920 Avaliação do U-Net em Custers com Rede My com Rede Myrinet PAULO A. GEROMEL, SERGIO T. KOFUJI
- BT/PEA/9921 SAG Sistema de Apoio Gerencial via Internet ADRIANO GALINDO LEAL, JOSÉ ANTONIO JARDINI
- BT/PEA/9922 Desequilibrio de Tensão em Redes Secundárias de Distribuição PAULO VINÍCIUS SANTOS VALOIS, CARLOS MÁRCIO VIEIRA TAHAN
- BT/PEA/9923 Sistema Não Lineares Controlados pela Lógica Difusa: Uma Aplicação em Acionamentos Constituídos por Motores Assíncronos WERNER W. PACHECO LUJAN, CÍCERO COUTO MORAES
- BT/PEA/9924 Arborescência em Cabos Elétricos de Média e Alta Tensão JOÃO JOSÉ ALVES DE PAULA, ADERBAL DE ARRUDA PENTEADO JÚNIOR
- BT/PEA/9925 Estudo para Otimização de Desempenho de Plantas Industriais Automatizadas ANTONIO ORLANDO UGULINO, SERGIO LUIZ PEREIRA
- BT/PEA/9926 Simulação e Análise de Desempenho de Processos Visando a Otimização de Sistemas Integrados de Produção CÍCERO COUTO DE MORAES, SERGIO LUIZ PEREIRA, JOSÉ ROBERTO R. DE GODOY
- BT/PEA/9927 Automação Moderna de Processos: Análise de Necessidade, Viabilidade e Tendências Tecnológicas SERGIO LUIZ PEREIRA
- BT/PEA/9928 Modelo de Compensação Série Controlada Aplicado ao Estudo do Amortecimento de Oscilações em Sistemas de Potência JOSÉ ROBERTO PASCON, LUIZ CERA ZANETTA JÚNIOR
- BT/PEA/9929 Cálculo de Trajetórias de Elétrons em Estruturas Magnéticas YASMARA CONCEIÇÃO DE POLLI, VIVIANE CRISTINE SILVA
- BT/PEA/0001 Monitoramento de Transformadores de Potência Direcionado à Manutenção com Base nas Condições SERGIO COSTA, AUGUSTO F. BRANDÃO JR.
- BT/PEA/0002 Redes Neurais Artificiais Aplicadas a Estudos de Subestações de Alta Tensão Abrigadas Frente a Ensaios de Impulsos Atmosféricos ANDRÉ NUNES DE SOUZA, FERNANDO SELLES RIBEIRO
- BT/PEA/0003 Relé Diferencial para Transformador de Potência Implementado com uma Rede MLP RICARDO CANELOI DOS SANTOS, EDUARDO CESAR SENGER
- BT/PEA/0004 Minimização de Resíduos Sólidos Urbanos e Conservação de Energia PAULO HÉLIO KANAYAMA, LINEU BELICO DOS REIS
- BT/PEA/0005 Modelamento de Conversores CC/CC por meio da Chave PWM LUIZ FERNANDO P. DE MELLO, WALTER KAISER
- BT/PEA/0006 Estudo de Surtos em Redes Secundárias de Distribuição Causados por Descargas Atmosféricas Diretas na Rede Primária WELSON BASSI, JORGE M. JANISZEWSKI
- BT/PEA/0007 Modelagem da Magnetohidrodinâmica em 3D pelo Método de Elementos Finitos SERGIO LUÍS LOPES VERARDI, JOSÉ ROBERTO CARDOSO
- BT/PEA/0008 Metodologia para Avaliação do Comportamento e Vida Útil de Motores Alimentados por Fontes Assimétricas de Tensão JOSÉ LUIZ ANTUNES DE ALMEIDA, EDUARDO MÁRIO DIAS
- BT/PEA/0009 Esquema de Aterramento Híbrido (EAH) FRANCISCO CARLOS PARQUET BIZZARRIA, ADERBAL DE ARRUDA PENTEADO JUNIOR
- BT/PEA/0010 Ferro-Ressnância em Redes Subterrâneas de Distribuição REGINA LÚCIA LAMY, CARLOS MÁRCIO VIEIRA TAHAN
- BT/PEA/0011 A Análise do Ciclo de Vida e os Custos Completos no Planejamento Enérgico CLÁUDIO ELIAS CARVALHO, LINEU BELICO DOS REIS
- BT/PEA/0012 A Agregação de Valor à Energia Elétrica através da Gestão Integrada de Recursos ANDRÉ LUIZ VEIGA GIMENES, LINEU BELICO DOS REIS
- BT/PEA/0013 Tochas a Plasma: Características Básicas para Projeto e Construção MIGUEL BUSSOLINI, ORLANDO SILVIO LOBOSCO
- BT/PEA/0014 Um Estudo de Correntes Induzidas em Meios Maciços Ferromagnéticos Aplicação no Projeto de Freios de Correntes Parasitas ALVARO BATISTA DIETRICH, IVAN EDUARDO CHABU
- BT/PEA/0015 Incorporação de Sistemas de Co-Geração aos Sistemas Elétricos de Potência: Um Roteiro para Avaliação de Viabilidade Técnico-Econômica LUÍZ DONIZETI CLEMENTINO, LINEU BELICO DOS REIS
- BT/PEA/0016 Metodologia para Análise da Posse de Equipamentos e Hábitos de Consumo de Energia Elétrica em Baixa Tensão ALEXANDRE ANGRISANO, RONALDO P. CASOLARI, JOSÉ ANTONIO JARDINI
- BT/PEA/0017 Análise de Índices de Qualidade no Planejamento Agregado de Investimentos em Ambiente de Incertezas CARLOS ALEXANDRE DE SOUSA PENIN, NELSON KAGAN
- BT/PEA/0018 Controle de Descarregadores de Navios Utilizando Lógica Fuzzy ANTONIO DAGOBERTO DO AMARAL JÚNIOR, LUIZ CERA ZANETTA JÚNIOR
- BT/PEA/0019 The Energy Absorption Capacity of Metal Oxide Surge Arresters An Approach for Switching Surges MANUEL LUÍS BARREIRA MARTINEZ, LUIZ CERA ZANETTA JÚNIOR

- BT/PEA/0020 Utilização Racional de Energia Elétrica em Instalações Elétricas Comerciais Empregando Sistemas de Automação JOEL ROCHA PINTO, AUGUSTO FERREIRA BRANDÃO JÚNIOR
- BT/PEA/0021 Sistema Automatizado para Aquisição de Dados de Consumo de Energia Elétrica, Água e Gás JOSÉ WALTER PARQUET BIZARRIA, JOSÉ ANTONIO JARDINI
- BT/PEA/0022 Estudo de Ignitores de Pulsos Superpostos para Lâmpadas de Vapor de Sódio de Alta Pressão ALEXANDER FERNÁNDEZ CORREA, WALTER KAISER
- BT/PEA/0023 Desenvolvimento de Medidor Eletrônico de Energia Elétrica de Custo Competitivo Associado a Estudos sobre Medições de Energia Elétrica DOUGLAS ALEXANDRE DE A. GARCIA, SERGIO LUIZ PEREIRA
- BT/PEA/0024 Uma Visão Educacional do Método dos Elementos Finitos Aplicado ao Eletromagnetismo LUIZ NATAL ROSSI. JOSÉ ROBERTO CARDOSO
- BT/PEA/0025 An Application of the Finite-Element Method to Desig a Switched Reluctance Motor PEDRO P. DE PAULA, SÍLVIO I. NABETA. JOSÉ R. CARDOSO
- BT/PEA/0026 Algoritmos de Alta Velocidade para a Proteção de distância de Linhas de Transmissão ERVALDO GARCIA JÚNIOR, EDUARDO CÉSAR SENGER
- BT/PEA/0027 Sistema de Aquisição e Tratamento de Dados para a Monitoração da Tensão em Regime Permanente SILVIO XAVIER DUARTE, CARLOS MÁRCIO VIEIRA TAHAN
- BT/PEA/0028 Análise da Confiabilidade e Manutenabilidade de Topologias do Sistema de Telefonia Fixa RICARDO ELIAS CAETANO, CÍCERO COUTO DE MORAES
- BT/PEA/0029 Aspectos Tecnológicos Referentes à Repotenciação de Usinas Termoelétricas MÁRCIO NESTOR ZANCHETA, ADERBAL DE ARRUDA PENTEADO JR
- BT/PEA/0030 Controle de Iluminação Utilizando Dimerização por Lógica Fuzzy, Compensando a Iluminação Natural ANDRÉ VITOR BONORA, EDUARDO MÁRIO DIAS
- BT/PEA/0031 Identificação do Nível de Redundância das Medidas de um Sistema, para Efeito da Estimação de seus Estados JOÃO BOSCO AUGUSTO LONDON JUNIOR, NEWTON GERALDO BRETAS
- BT/PEA/0101 Aplicação do Controlador de Subestação a um Sistema Digital Integrado de Supervisão e Controle RENATO CAMPANINI TEIXEIRA, AUGUSTO F. BRANDÃO JR.
- BT/PEA/0102 Uma proposta de um Filtro Ativo de Tensão para Aplicações em Redes Elétricas JOSÉ TOSHIYUKI HONDA, JOSÉ ANTONIO JARDINI
- BT/PEA/0103 Causas de Falhas e Critérios de Reaproveitamento de Transformadores de Distribuição de Sistemas de Distribuição de Energia Elétrica MIGUEL ANGEL HERNANDEZ TORRES, MARCOS ROBERTO GOUVÊA
- BT/PEA/0104 Um Sistema para Avaliação de Indicadores de Qualidade da Distribuição de Energia Elétrica GERSON YUKIO SAIKI, JOSÉ ANTONIO JARDINI
- BT/PEA/0105 Métodos de Análise de Sistemas de Aterramento de Linhas Metroviárias ARMANDO DE OLIVEIRA ALVES DE SOUZA, LUIZ LEBENSZTAJN
- BT/PEA/0106 Caracterização de Acionamentos na Indústria de Beneficiamento de Minério de Ferro FERNANDO MARCELO CALADO DE ANDRADE, IVAN EDUARDO CHABU
- BT/PEA/0107 Impacto da Privatização das Concessionárias de Distribuição de Energia Elétrica na Qualidade da Energia Suprida MITSUO NITTA, ADERBAL DE AARUDA PENTEADO JÚNIOR
- BT/PEA/0108 Estudo Comparativo de Ensaios de Chapa Única para Medidas de Perdas em Aços Elétricos RONALDO ALVES SOARES, CARLOS SHINITI MURANAKA
- BT/PEA/0109 Modelagem de Transformadores de Distribuição para Altas Freqüências ARNALDO G. KANASHIRO, ALEXANDRE PIANTINI, GERALDO F. BURANI
- BT/PEA/0110 Análise e Localização de Descargas Parciais em Transformadores de Potências por Métodos Elétricos HÉDIO TATIZAWA, GERALDO FRANCISCO BURANI
- BT/PEA/0111 A Eletrificação Rural em São Paulo Custos e Padrões LUIZ FERNANDO KURAHASSI, FERNANDO SELLES RIBEIRO
- BT/PEA/0112 A Escola Rural sem Luz em São Paulo OSWALDO TADAMI ARIMURA, FERNANDO SELLES RIBEIRO
- BT/PEA/0113 Eletrificação Rural no Novo Cenário: O Caso de São Paulo LUIZ HENRIQUE ALVES PAZZINI, FERNANDO SELLES RIBEIRO
- BT/PEA/0114 Simulação do Aterramento em Sistemas MRT OCTÁVIO FERREIRA AFFONSO, FERNANDO SELLES RIBEIRO
- BT/PEA/0115 Otimização do Dimensionamento de Equipamentos para Automação de Terminal de Contêineres FÁBIO LOPES CARNELOS, EDUARDO MÁRIO DIAS
- BT/PEA/0116 Sistema de Localização de Faltas para Redes Primárias de Distribuição GIOVANNI MANASSERO JUNIOR, EDUARDO CESAR SENGER
- BT/PEA/0117 Proteção de Distância para Linhas de Transmissão com Compensação Série JOSÉ GERALDO BARRETO MONTEIRO DE ANDRADE, EDUARDO CESAR SENGER

- BT/PEA/0118 Proposta de Acionamento Microprocessado para Empilhadeira Elétrica MARCO AURÉLIO VILELA DE OLIVEIRA, WALTER KAISER
- BT/PEA/0119 Técnicas "Anti-Windup" LUIZ AUGUSTO PEREIRA FERNANDES. CLÓVIS GOLDEMBERG
- BT/PEA/0120 Regulador de Tensão de Gerador HERALDO SILVEIRA BARBUY, CLÓVIS GOLDEMBERG
- BT/PEA/0121 Eficiência Operativa e Confiabilidade de Equipamentos Associados à Automação de Sistemas de Distribuição de Energia Elétrica –REINALDO BURIAN, CÍCERO COUTO DE MORAES
- BT/PEA/0122 Cálculo de Forças sobre Ímãs Permanentes: Uma Análise do Problema 23 do Team Workshop HÉLIO JOSÉ DAMANTE, LUIZ LEBENSZTAJN
- BT/PEA/0123 Análise de Guias de Ondas Ópticos pelo Método dos Elementos Finitos MARCOS A. R. FRANCO, JOSÉ ROBERTO CARDOSO
- BT/PEA/0124 Transient Induced Voltage Computaction in a High Building Struck by Lightning CARLOS A. F. SARTORI, A. ORLANDI, JOSÉ ROBERTO CARDOSO
- BT/PEA/0125 Metodologia para Cálculo de Perdas Técnicas por Segmento do Sistema de Distribuição ANDRÉ MÉFFE, CARLOS CÉSAR BARIONI DE OLIVEIRA
- BT/PEA/0126 Calculo da Distribuição da Corrente de Falta em Sistemas de Aterramento de Redes Primárias GILBERTO DE MAGALHÃES FALCOSKI, ADERBAL DE ARRUDA PENTAEDO JR.
- BT/PEA/0127 Acionamento de Velocidade Variável Utilizando Motores de Corrente Alternada Assíncronos JOSÉ ALBERTO MARQUES, IVAN EDUARDO CHABU
- BT/PEA/0201 Unified Power Quality Conditioner with Energy Storing Module for Medium Voltage Adjustable Speed Drive VALBERTO FERREIRA DA SILVA, ADERBAL DE ARRUDA PENTEADO JUNIOR
- BT/PEA/0202 Simulação de Marcha de Composição Ferroviária Acionada por Motores de Indução e PWM CASSIANO LOBO PIRES, SILVIO IKUYO NABETA
- BT/PEA/0203 Conservação de Energia Elétrica em Edificações Comerciais: Sistemas de Ar Condicionado com Central de Água Gelada – TEODORO MONGE DE AMORIM FILHO, MARCO ANTONIO SAIDEL
- BT/PEA/0204 Reconfiguração de Redes Primárias de Distribuição de Energia Elétrica Utilizando Sistemas de Informações Geográficas FERDINANDO CRISPINO, HERNAN PRIETO SCHMIDT
- BT/PEA/0205 Previsão de Carga em Sistemas de Distribuição de Energia Elétrica Utilizando Redes Neurais Artificiais JORGE YASUOKA, HERNAN PRIETO SCHMIDT
- BT/PEA/0206 Correção de Distorções Harmônicas, em Sistemas Industriais, Através de Filtros Passivos ANTONIO PESTANA NETO, LUIZ CERA ZANETTA JÚNIOR
- BT/PEA/0207 Proposta de Metodologia para Controle da Qualidade do Fornecimento de Energia Elétrica a Partir da Segmentação do Mercado Consumidor em Famílias de Redes Elétricas RODOLFO COLI DA CUNHA, CARLOS MÁRCIO VIEIRA TAHAN
- BT/PEA/0208 Modelagens das Funções de uma Subestação Automatizada Empregando Modelos Orientados a Objetos MILTHON SERNA SILVA, AUGUSTO F. BRANDÃO JR
- BT/PEA/0209 Automação de Instalações Elétricas Prediais Através da Internet ROBSON REBOUÇAS CARDOSO, AUGUSTO FERREIRA BRANDÃO JUNIOR
- BT/PEA/0210 Identificação Automática de Vagões na Área Portuária: Uma Solução com Análise de Imagens EDUARDO MANTOVANI, EDUARDO MÁRIO DIAS
- BT/PEA/0211 Concepção de Sistema de Supervisão e Controle no Processo de Descarga Rodoviária em Terminais
 Portuários Utilizando Identificadores Automáticos de Veículos ROGÉRIO COSTA DE OLIVEIRA, EDUARDO
 MÁRIO DIAS
- BT/PEA/0212 Metodologia para Análise de Perda de Vida Útil de Transformadores, Alimentando Cargas não Lineares ARLINDO GARCIA FILHO, EDUARDO MÁRIO DIAS
- BT/PEA/0213 Sistema de Automação para Gestão do Carregamento de Transformadores Baseado na Confiabilidade JOSÉ LUIZ PEREIRA BRITTES, JOSÉ ANTONIO JARDINI, HERNAN PRIETO SCHMIDT
- BT/PEA/0214 A Conservação, Considerando Aspectos Relacionados à Qualidade de Energia Elétrica na Indústria Têxtil: Estudo de Caso MÁRIO CÉSAR GIACCO RAMOS, ADERBAL DE ARRUDA PENTEADO JR.
- BT/PEA/0215 Cálculo de Parâmetros Operacionais de Desempenho de Redes Primárias de Distribuição Utilizando Redes Neurais Artificiais ANA MARÍA GARCÍA CABEZAS, HERNAN PRIETO SCHMIDT
- BT/PEA/0216 Análise Dinâmica de um Motor de Indução Linear pelo Método dos Elementos Finitos EDUARDO FERREIRA DA SILVA, SILVIO IKUYO NABETA
- BT/PEA/0217 Reômetro Rotativo de Taxa de Cisalhamento Imposta Acionado por Motor de Passo SAMUEL E. DE LUCENA, WALTER KAISER
- BT/PEA/0218 Acionamentos com Motores Brushless para Sistemas de Ventilação de Emergência RENATO DE ALMEIDA PEREIRA, CÍCERO COUTO DE MORAES
- BT/PEA/0219 Retificador Trifásico de Alta Eficiência para Tochas de Plasma MARIO GONÇALVES GARCIA JÚNIOR, LOURENÇO MATAKAS JÚNIOR

- BT/PEA/0220 Impacto de Modelos de Mercado Espacial no Planejamento de Sistemas de Distribuição de Energia MARIÂNGELA DE CARVALHO BOVOLATO, NELSON KAGAN
- BT/PEA/0221 Proposta de Recuperador Dinâmico para Correção de Afundamentos de Tensão FRANCISCO COSTA SARAIVA FILHO, EDUARDO CESAR SENGER
- BT/PEA/0222 Análise Preditiva de Defeitos em Motores de Indução Trifásicos Utilizando a Corrente de Alimentação JOSÉ DANIEL SOARES BERNARDO, LUIZ CERA ZANETTA JÚNIOR
- BT/PEA/0223 Cálculo de Iluminação Auxiliado por Computadores NESTOR CÂNDIDO FERREIRA SEGUNDO, MARCO ANTONIO SAIDEL
- BT/PEA/0224 Otimização de Sistemas de Distribuição de Energia Elétrica Utilizando Geração Distribuída JAMEA CRISTINA BATISTA SILVA, NELSON KAGAN
- BT/PEA/0301 Algoritmo Digital para a Proteção da Interligação Concessionária Indústria Operando em Sistemas de Cogeração FRANCISCO ANTONIO REIS FILHO, EDUARDO C. SENGER
- BT/PEA/0302 Dimensionamento da Infra-Estrutura para Automação de Terminais de Granéis Sólidos FABIO DEL PAPA, EDUARDO MARIO DIAS
- BT/PEA/0203 Desenvolvimento e Aplicação de Metodologia para Estudos de Viabilidade de Plantas de Cogeração RICARDO SHEIGI ABE, SERGIO LUIZ PEREIRA
- BT/PEA/0304 Applying Object-Oriental Technology to Project Hydroelectric Power Plant SCADA Systems CARLOS ALBERTO VILLACORTA CARDOSO, JOSÉ ANTONIO JARDINI
- BT/PEA/0305 Impactos Econômicos Causados pelos Distúrbios na Rede Básica de Energia Elétrica JOSÉ JULIO DE ALMEIDA LINS LEITÃO, LINEI BELICO DOS REIS
- BT/PEA/0306 Fault Location in Transmission Lines Using One Terminal Post Fault Voltage Data CARLOS EDUARDO DE MORAIS PEREIRA, LUIZ CERA ZANETTA JR.
- BT/PEA/0307 Impactos da Aplicação de Lâmpadas Fluorescentes Compactas em Habitações de Baixa Renda no Sistema de Distribuição de Energia Elétrica LUIS VENTURA CASTELLS PEÑA, CARLOS MÁRCIO VIEIRA TAHAN
- BT/PEA/0308 Análise e Melhoria do Controle Automático de Concentração de uma Planta de Ácido Nítrico Diluído ELCIO RODRIGUES ARANHA, CÍCERO COUTO DE MORAES
- BT/PEA/0309 Criação de Valor na Avaliação de Projetos Termelétricos sob Condições de Risco no Mercado Brasileiro de Energia Elétrica WAGNER DA SILVA LIMA, DOREL SOARES RAMOS
- BT/PEA/0310 Zoneamento Sócio-Econômico-Ecológico como Instrumento de Apoio a Regulação da Energia Elétrica LUIZ MARIO TORTORELLO, MARCOS ROBERTO GOUVÊA
- BT/PEA/0311 Analise de Transientes em Motor de Indução Modelo ABC/abc Aplicado ao Modelamento e Simulação de Soft-Starters LUIS CARLOS RIBEIRO DOS SANTOS CLOVIS GOLDEMBERG
- BT/PEA/0312 Modelamento Matemático e Análise do Funcionamento do Acionamento para Motores de Anéis em Cadeia Sub-Síncrona SÉRGIO LUIZ VOLPIANO CLOVIS GOLDEMBERG
- BT/PEA/0313 Considerações do Ambiente Eletromagnético Urbano na Análise de Interferências Eletromagnéticas em Veículos Automotores – GLÁUCIO SANTOS – CARLOS ANTONIO FRANÇA SARTORI
- BT/PEA/0314 Contribuição a Aplicação das Wavelets na Eletrostática ALDO ARTUR BELARDI, JOSÉ ROBERTO CARDOSO
- BT/PEA/0315 Avaliação Ponderada da Hidreletricidade e Termeletricidade Através dos Custos Completos JULIO HENRIQUE BOARATI, MIGUEL EDGAR MORALES UDAETA
- BT/PEA/0401 Previsão Espacial de Carga em Sistemas de Distribuição Utilizando Técnicas de Inteligência Artificial e Plataforma GIS FRANZ HENRY PEREYRA ZAMORA, CARLOS MARCIO VIEIRA TAHAN
- BT/PEA/0402 Modeling of Impulse Stressed Distribution Transformer Winding Oriented to Maintenance Purposes PEDRO LUÍS SANTUCCI DE MENDONÇA, AUGUSTO FERREIRA BRANDÃO JÚNIOR
- BT/PEA/0403 Sistema para o Gerenciamento de Imóveis e Ocupação das Faixas de Linhas de Transmissão Utilizando Dados Georreferenciados e de Sensoriamento Remoto MAURICIO GEORGE MIGUEL JARDINI, HERNAN PRIETO SCHMIDT
- BT/PEA/0404 Proposta de Novas Topologias de Conversores "C-DUMP" para o Acionamento de Motores e Geradores de Relutância Chaveados WANDERLEI MARINHO DA SILVA, CLOVIS GOLDEMBERG
- BT/PEA/0405 Proposta de Aplicação de Motor de Indução Linear Tubular na Extração de Petróleo BERNARDO PINHEIRO DE ALVARENGA, IVAN EDUARDO CHABU
- BT/PEA/0406 Aplicação da Automação Elétrica no Controle de Temperatura de Grandes Edifícios MARLENE DA SILVA BOSCATTO, AUGUSTO FERREIRA BRANDÃO JR.
- BT/PEA/0407 Metodologia de Segurança para Intercâmbio Eletrônico de Documentos Aplicado ao Sistema Portuário Brasileiro LEVI SALVI, EDUARDO MARIO DIAS
- BT/PEA/0408 Proposta de um Novo Protocolo de Comunicação para a Saída Serial de Usuário de Medidores de Energia ANDRÉ LUIZ MONTERO ALVAREZ, MARCO ANTONIO SAIDEL
- BT/PEA/0409 Estimação de Estado da Rede Durante Variações de Tensão de Curta Duração para o Monitoramento de Qualidade de Energia Elétrica TANIA PAOLA LEDESMA ARANGO, NELSON KAGAN

			s

